

7  
2 ej



# Universidad Nacional Autónoma de México

FACULTAD DE INGENIERIA

HISTORIA DEL POZO ZULOAGA NO. 1  
DISTRITO FRONTERA NORESTE.

## TESIS PROFESIONAL

Que para obtener el título de  
INGENIERO PETROLERO  
presenta

JOSE ANGEL ESPINOZA GARAY

1982



**UNAM – Dirección General de Bibliotecas**

**Tesis Digitales**  
**Restricciones de uso**

**DERECHOS RESERVADOS ©**  
**PROHIBIDA SU REPRODUCCIÓN TOTAL O PARCIAL**

Todo el material contenido en esta tesis está protegido por la Ley Federal del Derecho de Autor (LFDA) de los Estados Unidos Mexicanos (México).

El uso de imágenes, fragmentos de videos, y demás material que sea objeto de protección de los derechos de autor, será exclusivamente para fines educativos e informativos y deberá citar la fuente donde la obtuvo mencionando el autor o autores. Cualquier uso distinto como el lucro, reproducción, edición o modificación, será perseguido y sancionado por el respectivo titular de los Derechos de Autor.

# **TESIS CON FALLA DE ORIGEN**

## I N T R O D U C C I O N.

El presente trabajo es un intento por brindar a los -- estudiantes de Ingeniería Petrolera de relacionarse con varias etapas en el desarrollo de nuestra carrera. En la "Historia del Pozo Zuloaga No. 1", se muestra un resumen de las principales operaciones y materiales, desde su etapa de exploración hasta su terminación. Se muestra en los primeros cuatro capítulos información acerca de la exploración, operación y datos mecánicos, después de éstos se enumeran una serie de anexos, que tratan de explicar algo más sobre algunas operaciones y herramientas que se mencionan en los cuatro capítulos; en estos anexos puede encontrarse información sobre algún cálculo, descripción de una herramienta u operación.

	Pág.
<b>CAPITULO I:</b>	
<b>INTRODUCCIÓN:</b>	
<b>ANTECEDENTES Y DATOS GENERALES:</b>	1
<b>CAPITULO II:</b>	
<b>CONSIDERACIONES GEOLOGICAS Y DEL YACIMIENTO:</b>	2
2.1 Antecedentes	2
2.2 Geología Regional	2
2.3 Estructura	5
2.4 Columna Geológica	5
2.5 Litología	6
2.6 Descripción del horizonte productor	10
2.7 Otros horizontes importantes	15
2.8 Características del yacimiento	15
<b>CAPITULO III:</b>	
<b>DETALLES MECANICOS Y DE PERFORACIÓN:</b>	17
3.1 Descripción del equipo de perforación	17
3.2 Fluidos de perforación	19
3.3 Barranes	21
3.4 Carta de perforación	23
3.5 Tuberías de Revestimiento y accesorios	25
3.6 Aparejo de producción y conexiones superficiales	27
<b>CAPITULO IV:</b>	
<b>OPERACIONES DE PERFORACIÓN Y TERMINACIÓN:</b>	29
4.1 Avance de la perforación	29
4.2 Cementaciones	32
4.3 Registros geofísicos, muestras de canal y núcleos	34
4.4 Registros de deviaciones	36
4.5 Profundidad Interna del pozo	37
4.6 Problemas en la perforación y terminación	38

	Pág.
CAPITULO IV:	
4.7 Desarrollo del campo: - - - - -	39
ANEXOS:	
Fluidos de perforación: - - - - -	41
Barrenas: - - - - -	43
Descripción de la sarta de perforación: - - - - -	45
Tuberías de revestimiento: - - - -	48
Cementaciones: - - - - -	55
Aparejo de producción y conexiones superficiales: - - - - -	58
Registros geofísicos: - - - - -	63
CONCLUSION: - - - - -	65
BIBLIOGRAFIA: - - - - -	66

## C A P I T U L O   I

## ANTECEDENTES Y DATOS GENERALES

El pozo Zuloaga No. 1 está localizado en el Distrito de Monclova, en el límite que divide los Estados de Coahuila y Nuevo León. La ubicación geográfica está dada por las siguientes coordenadas:

$$X = -38 150.45 \text{ m}$$

$$Y = 12 556.84 \text{ m}$$

El sistema de referencia es la presa Don Martín (S.R.H.), en el municipio Juárez, Estado de Coahuila. Las cotas de los dos puntos más importantes son:

Elevación del terreno sobre el nivel del mar: 236.4 m.

Elevación de la mesa rotatoria sobre el nivel del mar: 240.6 m.

El objetivo del pozo exploratorio Zuloaga No. 1 fue establecer producción en cualquiera de las formaciones del Cretácico inferior: La Vígen, Padilla y Taraíses; así como en las del Jurásico superior: La Casita y La Gloria (ver consideraciones geológicas).

La perforación del pozo se inicia el 18 de septiembre de 1980; finaliza ésta el 7 de mayo de 1981. Se inicia la terminación el 7 de mayo de 1981; el pozo queda totalmente terminado el 27 de mayo de 1981.

## C A P I T U L O      II

## CONSIDERACIONES GEOLOGICAS Y DEL YACIMIENTO PRODUCTOR.

### 2.1 Antecedentes.

Próximos a esta localización, se encuentran los pozos - Lampazos No. 1, Ciega No. 1, Patricio No. 1, Salinillas No. 1 Don Martín No. 1 y 101 (ver el mapa de la figura 1 y 2), de los cuales los pozos Lampazos y la Ciega han resultado productores en la formación La Casita; en el pozo Salinillas -- No. 1 se observó trazas de aceite muerto y burbujeo de gas en un núcleo que se cortó en la formación Buda, además de haber tenido manifestaciones en las formaciones La Casita y La Gloria.

El campo Zuloaga, se encuentra en la Provincia de Coahuila, dentro del Golfo de Sabinas. El pozo Zuloaga No. 1, resultó productor de gas seco proveniente de la formación La Casita.

### 2.2 Geología Regional.

La Provincia de Coahuila, abarca todo el Estado del mismo nombre; sus límites son al Norte la frontera con EUA por el Río Bravo; al Poniente con la Provincia de Chihuahua; al Oriente la provincia NE de México.

Subprovincia del Golfo de Sabinas: en la región afloran rocas sedimentarias e ígneas (basaltos), las primeras son generalmente de origen marino, siendo las más antiguas las del Jurásico superior (formación La Casita), que afloran en los anticlinales de Oballos y potrero de Menchaca, al Noroeste de Cuatro Ciénegas y el resto de calizas y mareas del Cretácico y finalmente llenos de los valles de rocas clásticas del Terciario y Cuaternario. Las formaciones que presentan más interés son las de Cretácico y las del Jurásico, ambas como formaciones almacenadoras de hidrocarburos y las primeras como rocas carbonosas.

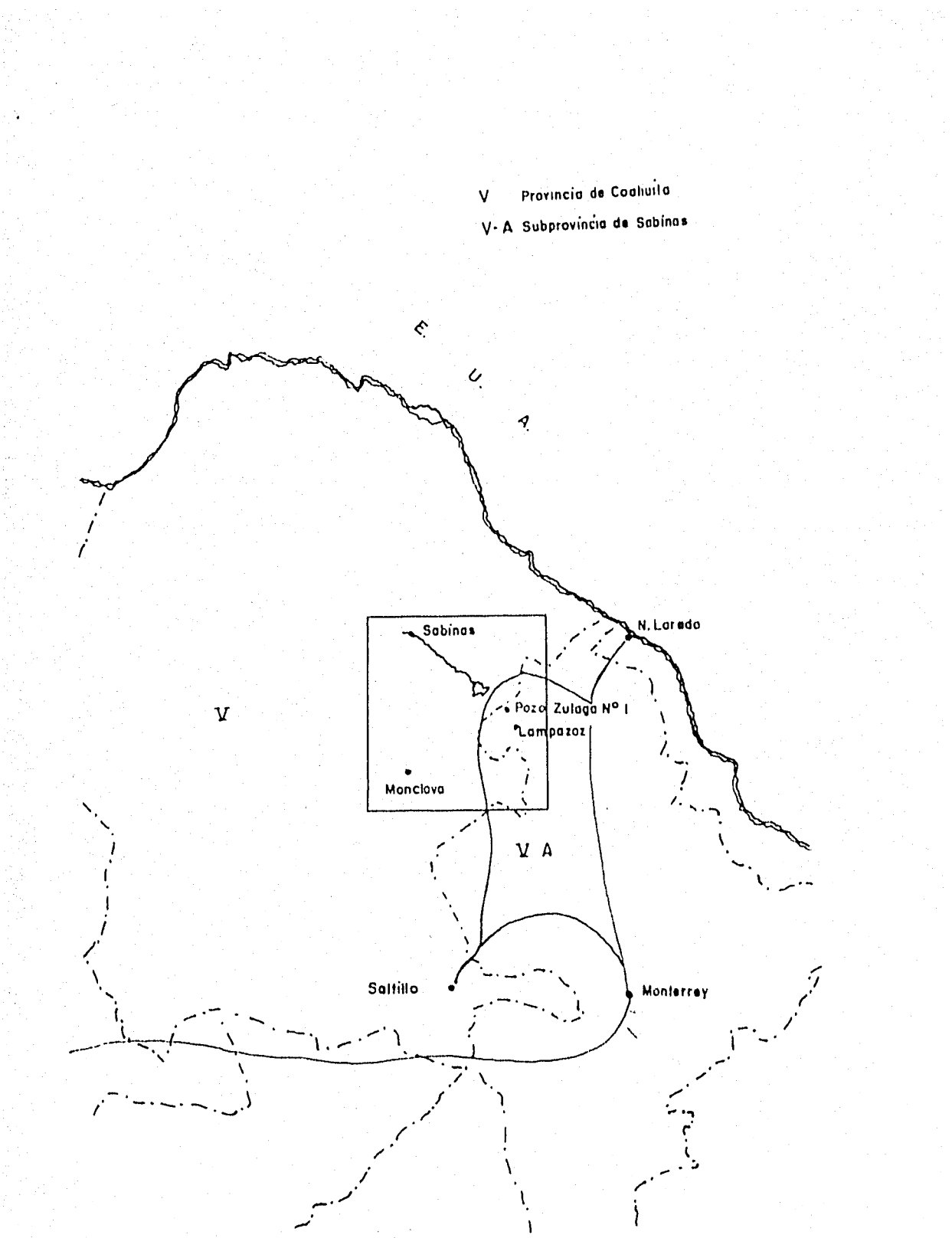


Fig. I

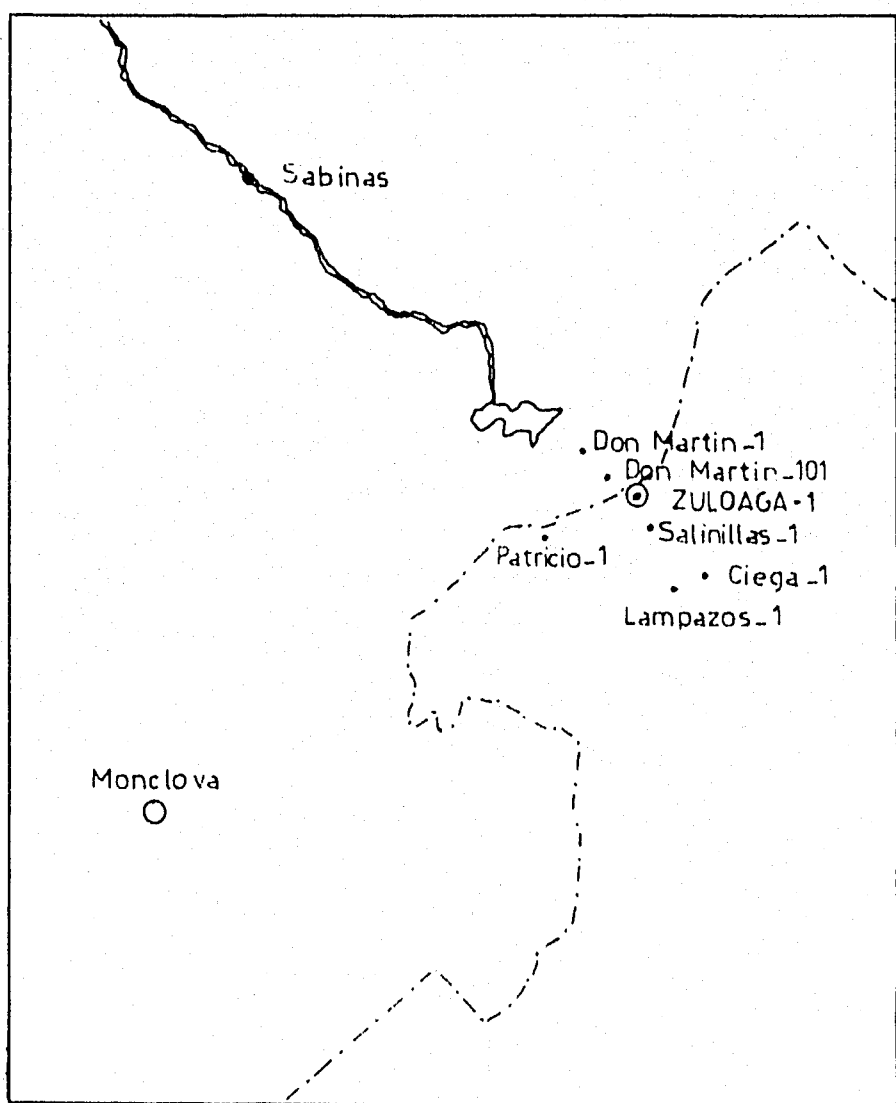


FIG. N°'2

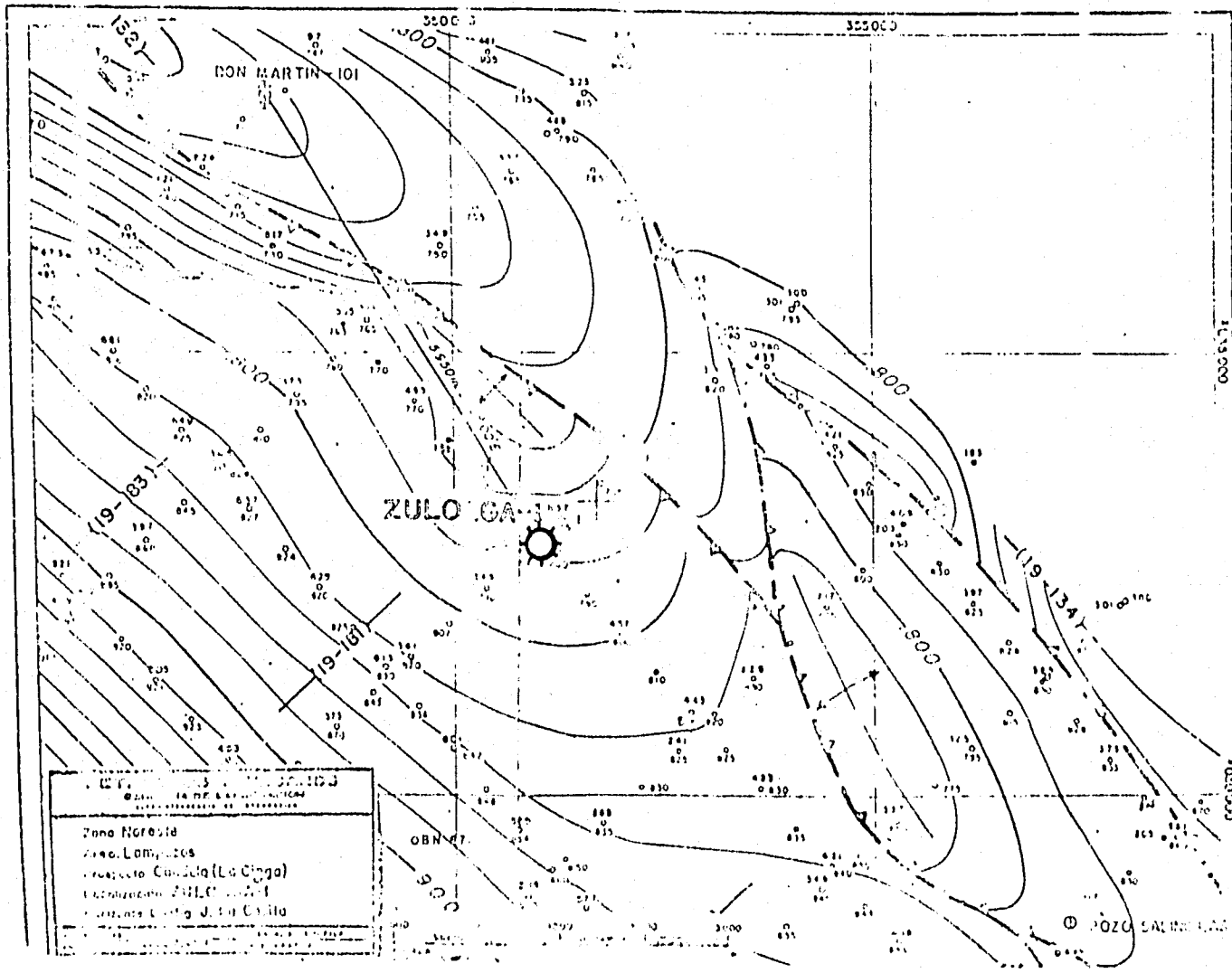
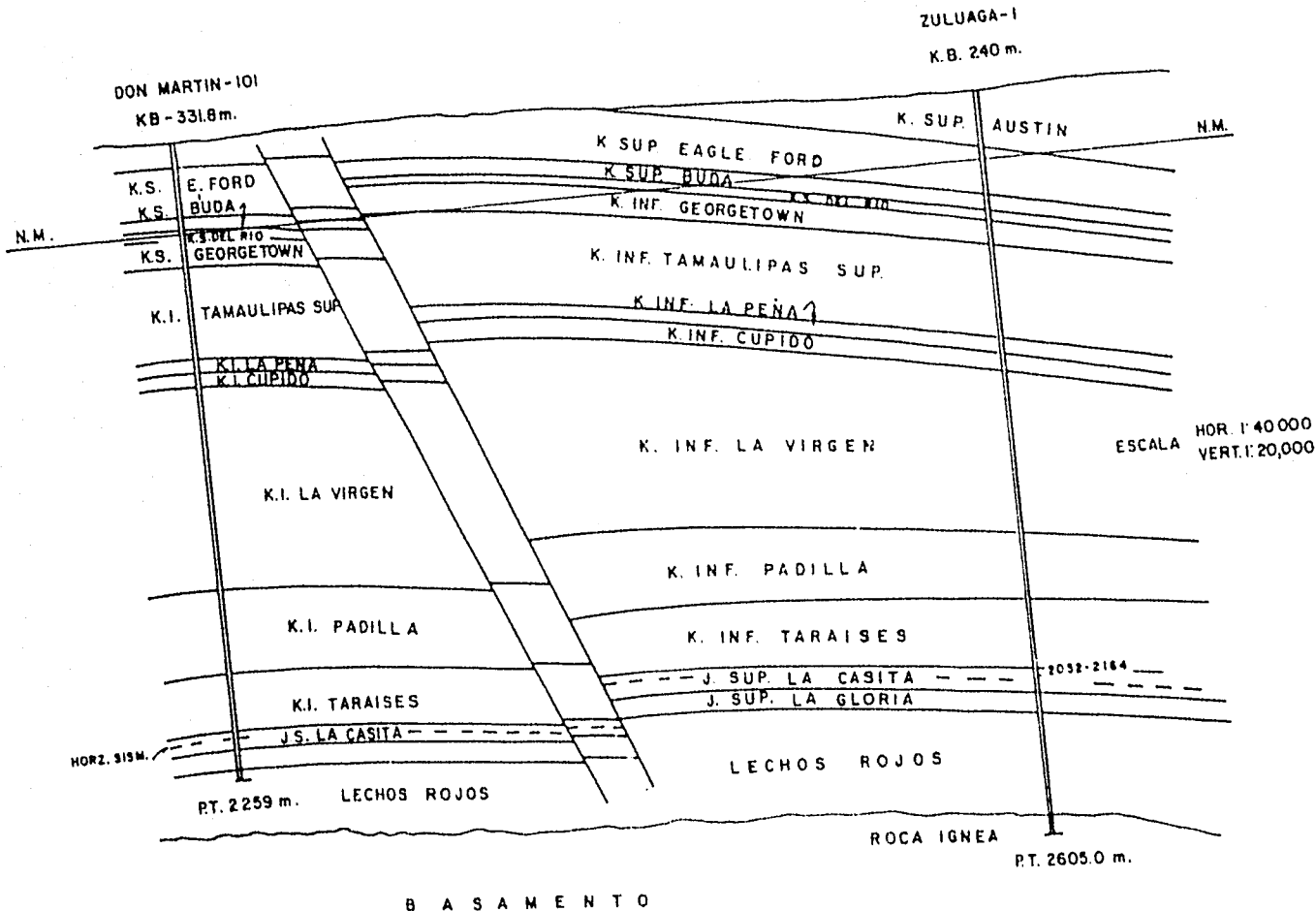


FIG 3



DON MARTIN-101  
ZULUAGA-I  
ESC. 1'250,000

Fig. № 4

## 2.5 Litoología.

Las características litológicas de las formaciones perforadas fue obtenida tanto por la información del Zuloaga -- No. 1, como por la experiencia adquirida en los pozos cercanos.

K. Austin.- Se encuentra constituido por mudstone (1) - arcilloso café y café claro, con intercalaciones de wackestone (2) del mismo color y escasa lutita color gris, con fauna pelágica.

K. Eagle Ford.- Se constituye por mudstone arcilloso---carbonoso de color gris oscuro con delgadas intercalaciones de lutita del mismo color, se observa fauna planctónica.

K. Buda.- Formado por mudstone y wackestone de color --- gris claro y café claro con microfauna planctónica.

K. Del Río.- Constituido litológicamente por mudstone - arcilloso de color crema, café claro y café con fauna planctónica, microfracturas rellenas por calcita y líneas estilolíticas.

K. Tamaulipas Superior.- Litológicamente constituida -- por mudstone gris claro y café claro o crema, se presentan - gran cantidad de fracturas selladas por calcita y líneas estilolíticas; en algunos intervalos se observa dolomitización; la fauna más común son foraminíferos planctónicos.

K. La Peña.- Constituida por un mudstone arcilloso de - color gris oscuro a negro, intercalado con lutita de color ne - gro ligeramente calcáreas.

L. Cupido.- Constituido litológicamente por wackestone hasta grainstone (3) de mioliólidos, peletoides, oolitas y - bioclastos de café claro, y café y café oscuro.

K. Virgen.- Presenta una alternancia de evaporites, ro - cas carbonatadas y microdolomías; en las microdolomías se ob - serve generalmente porosidad intercristalina pobre, sin en-

bargo presenta un alto grado de porosidad secundaria.

K. Padilla.- Se compone litológicamente de mudstone a wackestone con bioclastos dolomitizados de color café oscuro y gris, observándose dolomías de color café y café oscuro.

K. Taraíses.- Está formado por caizas arcillosas y lutitas de color gris oscuro a negro, con intercalaciones arenosas.

J. La Casita.- Está constituida litológicamente por lutita calcárea con intervalos limolíticos, mudstone arenoso-carbonoso y areniscas con matriz calcárea y porosidad intergranular, todo de color gris oscuro a negro.

J. La Gloria.- Se compone de areniscas de cuarzo de grano medio a grueso de color gris claro, con cementante siliceo.

(1).- Mudstone: Textura depositacional, con soporte de lodo y menos del 10% de granos calcáreos.

(2).- Wackestone: Textura depositacional, con soporte de lodo y más del 10% de granos calcáreos.

(3).- Grainstone: Textura depositacional, con soporte de granos sin lodo calcáreo.

## 2.6 Descripción del horizonte productor.

El pozo Zulanga No. 1 fue perforado hasta la profundidad de 2605.0 m., después de revisar los registros, no se encontró acumulaciones de interés abajo de los 2150.0 m., - por lo que se colocó un tapón de cemento a esta profundidad, quedando como intervalo productor de 2050 a 2148.0 m.

Para determinar la  $S_w$  y  $\bar{\phi}$  del intervalo productor, se utilizaron los registros: Doble Laterolog Microesférico y el Porosidad Litodensidad Neutron, cuyos perfiles se muestran - en las fig. 5 y 6 respectivamente.

Las zonas de interés en este intervalo se pueden observar en el perfil de porosidad (fig. 6), estas zonas son aquellas en las cuales la  $\phi_n$  sea mayor que la  $\phi_d$ , este procedimiento práctico nos ayuda a determinar la presencia de gas. Según este perfil podemos tomar del perfil de porosidad cinco zonas (I, II, III, IV y V), que se enumeran en la fig. 6; -- las propiedades más importantes de estas zonas son:

	$S_w$	$\phi_n$	$\phi_d$	$\bar{\phi}$
Zona I	0.55	0.055	0.031	0.0446
Zona II	0.331	0.08	0.05	0.0667
Zona III	0.465	0.11	0.043	0.0842
Zona IV	0.577	0.10	0.04	0.076
Zona V	0.433	0.11	0.03	0.080

$S_w$ : Saturación de Agua

$\phi_n$ : Porosidad del Registro Neutrón

$\phi_d$ : Porosidad del Registro de Densidad.

$$\bar{\phi} : \text{Porosidad Promedio: } \sqrt{\bar{\phi}} = \frac{\phi_n^2 + \phi_d^2}{2}$$

La litología de este horizonte se puede observar en el registro de hidrocarburos que se muestra en la fig. 7.

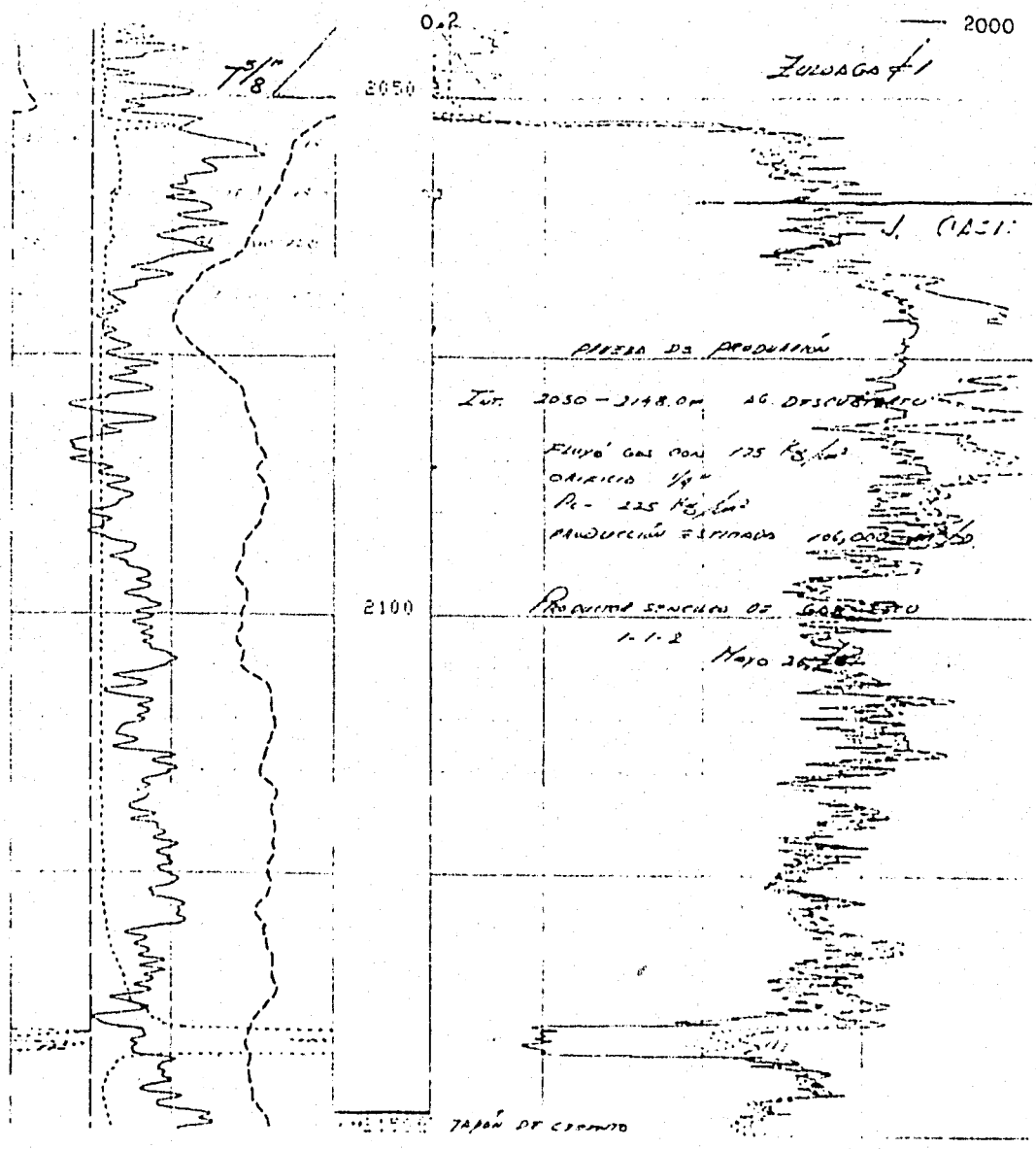


Fig. 5 Doble Laterolog

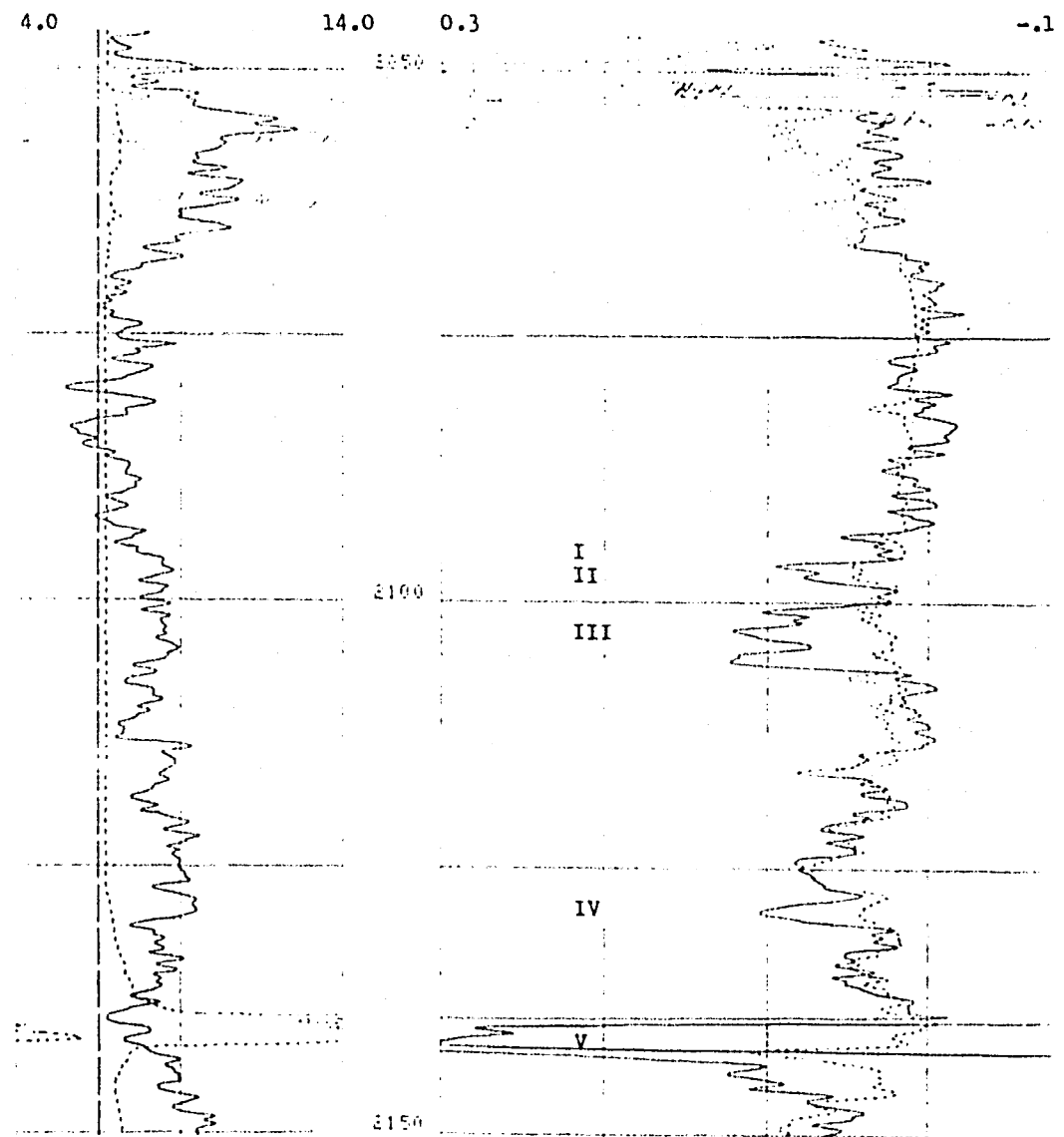


Fig.6 Porosidad Litodensidad Neutron

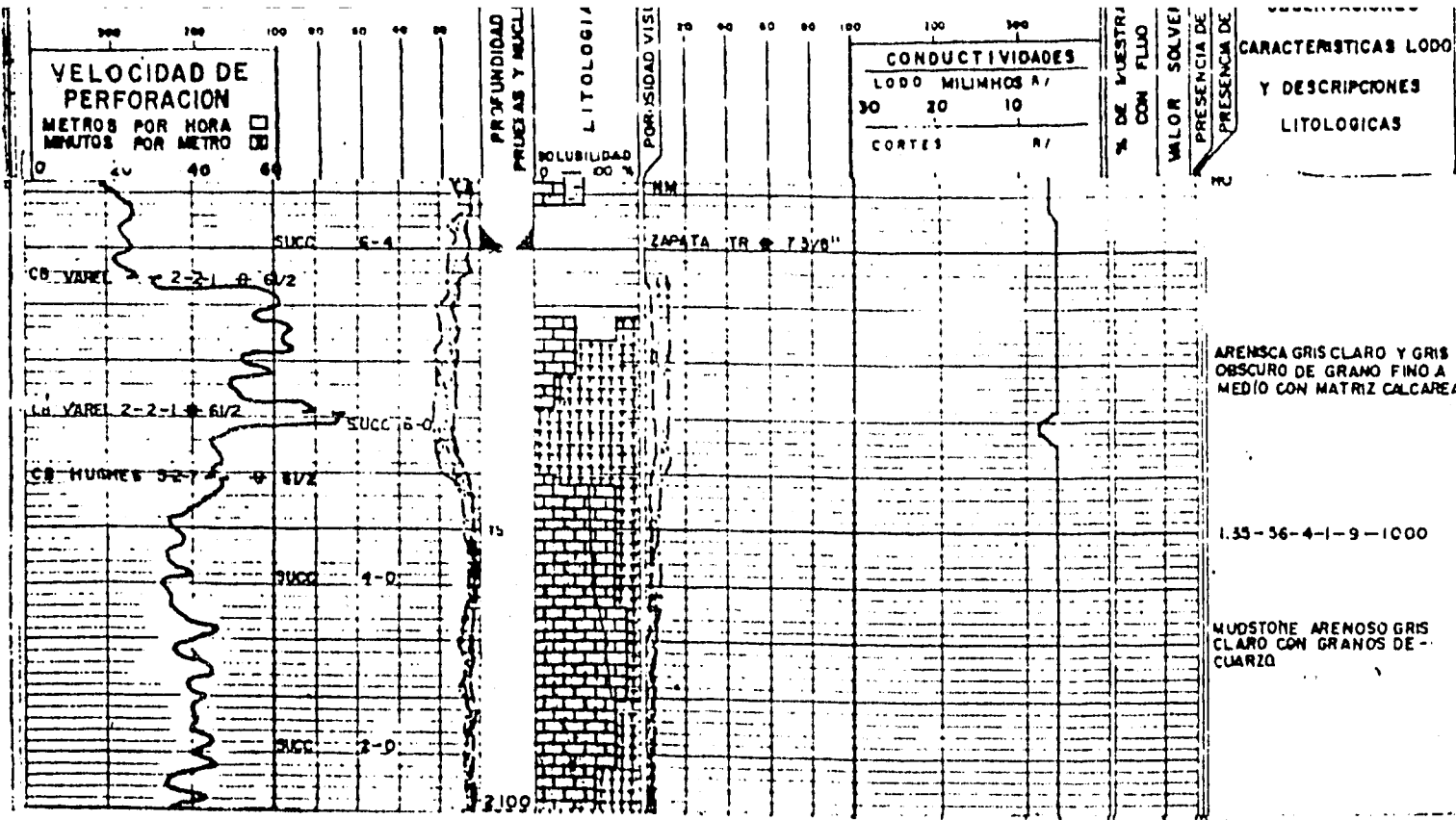


FIG. 7

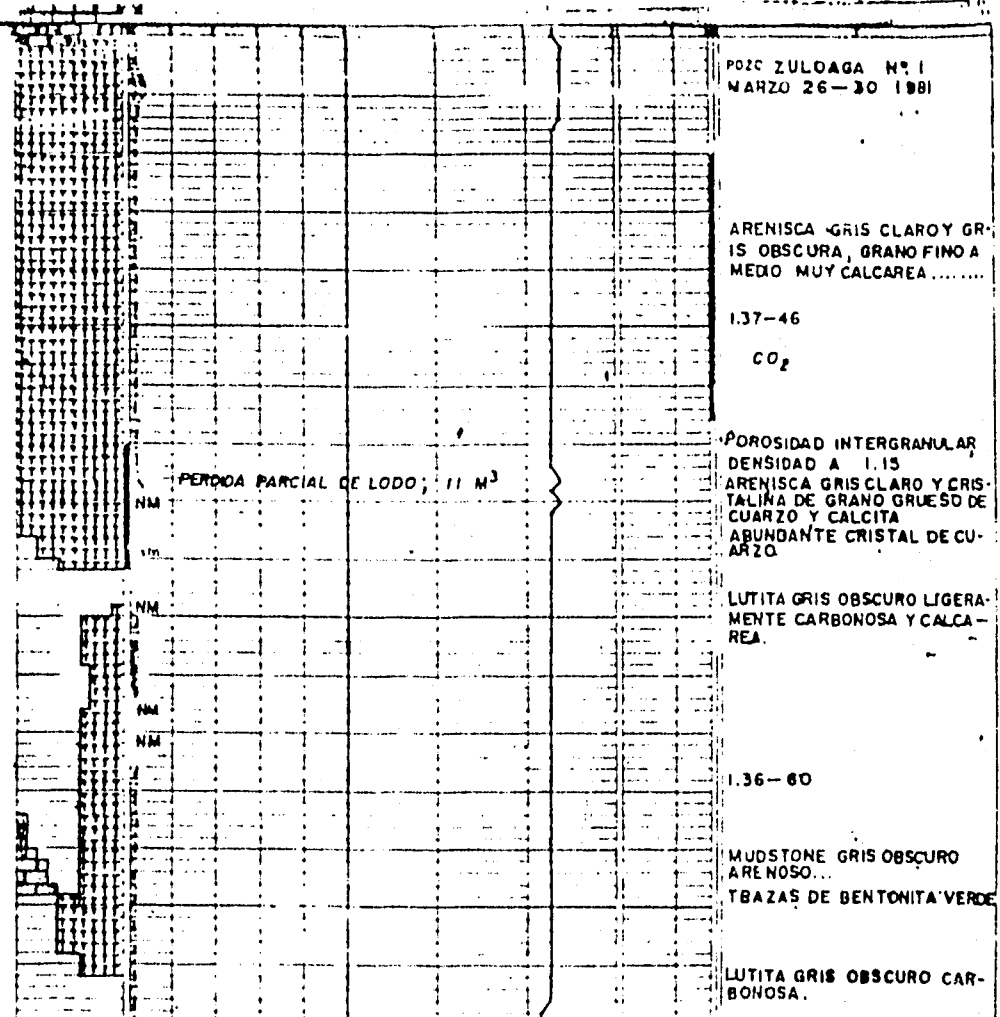
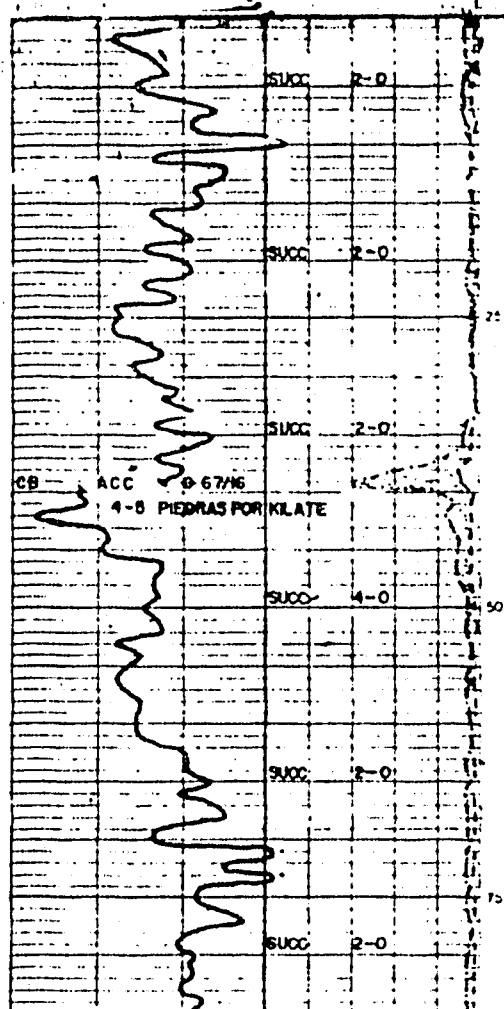


FIG. 7 (CONTINUACION)

## 2.7 Otros horizontes importantes.

El pozo Zulen n.º 1 trataba de encontrar producción de hidrocarburos en otras cuatro formaciones, a continuación se resume que se encontró en éstas:

En la Virgen, se encontró formaciones poco verdes y permosales, las más abundantes son: anhidrita blanca sphaeroide, mudstone, dolomía café.

Esta misma secuencia se presenta en la formación Padilla, pero además se empiezan a notar trazos de lutitas, que se extienden hasta la formación Carrizosa, predominando en ésta junto con mudstone. Los trazos de gas en los recortes analizados en el registro de hidrocarburos, señala una cantidad casi nula, si igual que en el lodo.

En la formación La Gloria, sucede algo diferente, aquí predominan las areniscas, conglomerados volumétricos y lutitas.

A continuación se muestran las características de los tres intervalos más importantes de esta formación:

Profundidad media	espesor	Porosidad	Saturación de Agua.
2378	15 m.	0.06	0.625
2473	30 m.	0.075	0.666
2495	8 m.	0.07	0.55

Al revisar las saturaciones de agua y los registros de resistividades se notó que el horizonte está invadido de agua. Es por ello que este horizonte se abandonó después con un tapón de cemento.

## 2.8 Características del yacimiento.

Durante la perforación del pozo Zuloaga No. 1 no se encontró ningún contacto de fluidos; se cree que el tipo de empuje sea volumétrico, basándose para esto, en la experiencia de toda la zona, sobre todo por los campos vecinos.

Después de las pruebas convenientes, se obtuvo una muestra de los hidrocarburos del yacimiento y cuyas ca-

racterísticas se mencionan a continuación:

Composición

Componente	%
Metano	97.43
Etileno	0.41
Propano	0.05
Nitrógeno	2.09
CO <sub>2</sub>	0.02

Propiedades P.V.T.

Densidad relativa = 0.567

Presión crítica (P<sub>c</sub>)= 664.38

Temperatura crítica (T<sub>c</sub>)= 342 °P

Factor de comprensibilidad (Z)= 0.97

Factor de volumen inicial (B<sub>Z<sub>i</sub></sub>)= 0.004839

Presión y Temperatura del yacimiento.

Presión inicial (P<sub>y<sub>i</sub></sub>)= 266 kg/cm.<sup>2</sup>

Temperatura (T<sub>y</sub>)= 110 °C.

C A P I T U L O      III

## DATOS MECANICOS Y DE PERFORACION.

### 3.1 Descripción del equipo de perforación.

El equipo que perforó el pozo Zuloaga No. 1 está registrado con el número 1002, pertenece a Petróleos Mexicanos y tiene una antigüedad desde 1958.

La descripción de los principales componentes del equipo se presenta a continuación:

- a) Mastil - marca: Ideco.
  - modelo: Full.
  - longitud: 138 pies (42.07 m.)
  - capacidad:  $645 \times 10^3$  lbs ( $292.57 \times 10^3$  kg.)
- b) Malacate - marca: Ideco.
  - modelo: H - 711
  - diámetro del cable: 1 1/4"
  - H. Nominal: 1050 H.P.
- c) Motores - marca: 3 Caterpiller.
  - modelo: D - 353
  - caballaje: 375 H.P.
  - R P M : 1200
- d) Bomba 1 - marca: Ideco.
  - modelo: FLPX
  - motor: Acoplado a transmisión compuesta.
  - R P M : 1200
  - H. Nominal: 800
- e) Motobomba 2 - marca: National.
  - modelo: C 350
  - motor: Caterpillar D-398

- H. Prominal: 750 H.P.
- R.P.M.: 1200

f) Planta de Luz No. 1.

- |                |                       |
|----------------|-----------------------|
| Generador C.A. | - marca: Katomex.     |
|                | - modelo: 175 - FUGE  |
|                | - K.W. nominal: 175   |
| Motor C.L.     | - marca: Roll-Royce   |
|                | - modelo: C 6 - T F L |

g) Planta de Luz No. 2

- |                |                       |
|----------------|-----------------------|
| Generador C.A. | - marca: Katomex      |
|                | - modelo: 175 - SUGS  |
|                | - K.W. nominal: 175   |
| Motor C.L.     | - marca: Roll-Royce   |
|                | - modelo: C 6 - T F L |

El costo de operación del equipo, tomando en cuenta los salarios del personal y el costo del equipo es de \$ 154,224.00 por cada día.

### 3.2 Fluidos de perforación.

Durante la perforación del pozo número 1 se utilizaron fluidos de perforación líquidos fuertes (+), a continuación se presentan unos datos de los principios proporciones a diferentes profundidades:

Prof.	p.e.	Marsh (ccg)	Filt. ml/cc	Enj.	t.p.	c	V.P. Inicial	V.P. Final	T.d.
344	1.3	55	12	1.5	17	3	11	14	12
460	"	50	9.6	"	20	2	4	12	10
525	"	50	6.3	"	23	9	4	6	"
608	"	"	6.9	"	20	3	5	12	2
715	"	"	7.3	1.0	"	"	4	10	"
733	1.47	"	7.2	1.5	30	13	5	17	"
916	"	"	6.4	"	36	13	15	11	10
1206	"	55	8.2	"	24	8	3	32	9
1302	"	"	6.3	"	25	14	7	14	11
1457	"	"	3.0	"	24	16	30	47	10.5
1625	"	"	3.2	1.0	16	13	5	22	10
1732	"	"	6.6	"	24	13	10	12	10
2165	1.34	"	8.5	1.5	--	--	--	--	--
2273	1.35	"	4.0	1.0	40	--	--	--	--
2386	"	"	4.0	1.0	50	5	5	12	9

P.e. : peso específico.

Filt.: Filtrado.

Enj. : Enjarre.

V.P. : Viscoelasticidad plástica

t.p. : punto cavitante.

Los materiales utilizados, así como las cantidades de ellos se enlistan a continuación:

<u>Material</u>	<u>Cantidad</u>	
Barita	250	Ton.
Bentonita	33	"
Carbonato de Sodio	0.8	"
Cromolígnito (Lignex)	13.5	"
Lignosulfonato (Supercaltex)	14.5	"
Sosa	2.8	"
Diesel	75.0	M.3

(+) En el apéndice de fluidos de perforación se da más información al respecto.

3.3 Anexos.

A continuación se presenta el récord de herramientas utilizadas, así como el costo por metro de cada una de ellas. (+)

No.	Marca	Serie	Tipo	$\varnothing$	H	T	t	Costo/metro
1	Hughe	COC-3A	III	14 $\frac{3}{4}$	90	25	4	3060.50
2	Hughe	"	III	"	14	6	3	2300.11
3	Hughe	"	III	"	21	9	3	6457.14
4	Hughe	"	III	"	46	13	5.2	3215.00
5	Varel	V3	III	20"	44	13	2	5543.70
6	Varel	V2	II	"	30	30	3	4454.00
7	Varel	"	II	"	52	17	2.5	5370.50
8	Varel	VA36	I	"	43	19.1	2	6597.50
9	Varel	"	I	"	70	18	2.5	6901.70
10	Smith	D 2	II	14 $\frac{3}{4}$	34	12	2.0	4366.23
11	Smith	"	527	"	74	51	3	9350.70
12	Smith	"	527	"	259	155	8	5375.90
13	Smith	"	527	"	399	136	5.5	6302.53
14	Hughe	J22	527	"	95	95.4	6	10491.70
15	Hughe	"	527	"	168	155	6	6211.40
16	Hughe	"	527	"	78	57	6.8	9678.20
17	Hughe	COC-3A	II	9 $\frac{1}{2}$	20	14	7.3	12074.70
18	Hughe	J22	527	"	61	71	7	9826.60
19	Smith	D 3	II	"	9	7	7.5	13218.33
20	Varel	--	527	9 $\frac{7}{16}$	256	208.1	8.2	5843.16
21	Christ	--	---	"	160	279	9.0	5360.00
22	Christ	--	---	"	116	18	9.5	
23	Varel	--	---	6 $\frac{1}{2}$	--	--	--	
24	Hughe	J22	527	"	69	43	12	16906.23
25	Amer.	--	---	"	73	51	12.8	6739.50

No.	Marca	Serie	Tipo	$\phi$	H	T	t	Costo/metro
26	Varel	-----	527	6 <sup>1</sup> / <sub>2</sub>	14	9	13	15905.05
27	Hughe	J22	527	"	76	40.5	14	5679.00
28	Hughe	"	527	"	83	42	13.5	5276.50
29	Hughe	F4/F45	617	"	77	66	14.2	7749.00
30	Smith	F3	537	"	--	--	-----	
34	Varel	V2	221	"	--	--	-----	

Donde:

Serie.- Clasificación del fabricante.

Tipo.- Clasificación API

H .- Metros perforados

T .- Tiempo perforado

t .- Tiempo de viaje

Christ. Christensen

Amer. American

(+) La definición de los parámetros más importantes se ruegan ver en el anexo Ie Barrenus.

### 3.4 Serta de perforación.

#### a) Tuberías de perforación (+).

Se utilizaron dos tipos diferentes de tubería de perforación:

- Primer tubería: Se utilizó para los diámetros de agujero de 20", 14<sup>3</sup>/<sub>4</sub>" y 9<sup>1</sup>/<sub>2</sub>"; las características principales de este tuberín:

Grado	X - 95
Diámetro exterior	4 <sup>1</sup> / <sub>2</sub> "
Peso	16.6 lb/pie
Rosca	Interiores lisos (I.P.)
Clase	Primera

- Segundo tubería: Se utilizó para perforar el último tramo del pozo (2052 - 2605 m.), con un diámetro de agujero de 6<sup>1</sup>/<sub>2</sub>", sus características son:

Grado	X - 95
Diámetro exterior	3 <sup>1</sup> / <sub>2</sub> "
Peso	13.3 lb/pie
Rosca	Interiores lisos (I.P.)
Clase	Primera

#### b) Herramienta.

Se seleccionaron cuatro diámetros de lastrebarrenas, cada uno de ellos para diferente diámetro de barrena. En la siguiente tabla se muestran los lastrebarrenas seleccionados para cada diámetro de barrena, así como el número de estabilizadores y su posición:

Prof.	D. A.	N.LB.	D. E.	D. I.	W	N.E.	T.E.	L.h.t.a.
305	14 <sup>3</sup> / <sub>4</sub> ", 20"	3	9 <sup>1</sup> / <sub>2</sub>	3	324.34	2	1 - 3	35
1200	14 <sup>3</sup> / <sub>4</sub> "	5	7 <sup>3</sup> / <sub>4</sub>	2 <sup>1</sup> / <sub>2</sub>	206.80	-	- - -	--
		6	6 <sup>1</sup> / <sub>2</sub>	2 <sup>13</sup> / <sub>16</sub>	135.38	2	1 - 3	115.7
2052	9 <sup>1</sup> / <sub>2</sub> "	15	7 <sup>1</sup> / <sub>4</sub>	2 <sup>13</sup> / <sub>16</sub>	177.05	3	1-3-15	156.0
2605	6 <sup>1</sup> / <sub>2</sub> "	24	5	2 <sup>5</sup> / <sub>16</sub>	77.36	3	1-2-24	228.0

Donde:

D. A.- Diámetro de la barrenca (pulgadas)

N.LB.- Número de lastrebarrenas.

D. E.- Diámetro exterior del tubo (pulg.)

D. I.- Diámetro interior del tubo (pulg.)

W. - Peso por unidad de longitud de lastrebarrenas ---  
(Kg/m.)

N. E.- Número de estabilizadores.

N. I.- Número del lastrebarrena debajo del cual se en---  
cuentan el estabilizador.

L.h.t.a.- Longitud total de la herramienta (metros).

Longitud máxima de un estabilizador 9.15 m. (30  
pies) y de un estabilizador 2.75 m. (9 pies).

(+) Ver en "Línea de faja de perforación".

### 3.5 Tuberías de Revestimiento y accesorios. (+)

Se utilizaron tres tuberías de revestimiento y una conductora en el intervalo de 0 a 110 m. La descripción de las tres columnas de tuberías de revestimiento con los accesorios es:

#### - Tubería superficial.

De 0.0 a 3.30 m. Elevación de la mesa rotaria --  
(E.M.R.)

3.30	275.00	26 tramos de tubería de 16" J-55 de 84 lbs/pie con rosca redonda, cople corto.
275.00	297.40	Cople de retención Backer. 2 tramos de tubería de 16" J-55 de 84 lbs/pie. Zapata flotadora Backer.

Se utilizaron 15 centradores Fabrimex 16"x 20" distribuidos a lo largo de toda la tubería.

#### - Primer tubería intermedia.

De 0.0 a 2.80	E.M.R.	
2.80	748.5	58 tramos de tubería de $10\frac{3}{4}$ " J-55, de 51 lb/pie con rosca - redonda de 8 hilos, cople corto.
748.50	749.5	Cople de cementación múltiple - Backer.
749.50	1175.0	33 tramos de tubería de $10\frac{3}{4}$ " J-55, de 51 lb/pie.
1175.00	1200.0	Cople diferencial Backer. 2 tramos de tubería de $10\frac{3}{4}$ " J-55, 51 lb/pie. Zapata guía Backer.

Se utilizaron 30 centradores Fabrimex  $10\frac{3}{4}$ " x  $14\frac{3}{4}$ " - distribuidos a lo largo de toda la tubería.

#### - Segundo tubería intermedia.

0.0	2.30	E.M.R...
2.30	1144.75	93 tramos de tubería de $7\frac{5}{8}$ " - N30 - de 33.7 lb/pie, con rosca reionda, <u>co</u> <u>ple largo.</u>
1144.75	2026.31	81 tramos de tubería de $7\frac{5}{8}$ " - N30 - 33.7 con roscas "Extremos Planos" y - combinación de cople largo con Extre- mos planos.
2026.31	2026.90	Cople diferencial Backer.
2026.90	2049.60	2 tramos de tubería $7\frac{5}{8}$ " - N30, de - 33.7 lb/pie con Extremos Planos.
2049.60	2050.0	Sapata guía.

Se utilizaron 30 centraidores  $7\frac{5}{8}$ " x  $9\frac{1}{2}$ ", con bisagra  
cada uno con un collarín Fabrimex  $7\frac{5}{8}$ ", distribuidos en el  
intervalo 500 - 2052 m.

Se tenía programada una tubería de 5" para el agujero -  
de  $6\frac{1}{2}$ " para el intervalo 0.0 - 3000 m. Como se abandonó --  
parte del agujero, además por lo corto del intervalo produc-  
tor y su característica litológica no se utilizó esta tube-  
ría.

(+) Ver apéndice de Tuberías de Invertimiento.

### 3.6 Aparejo de producción y conexiones superficiales (+).

Al meter el aparejo de producción el estadio mecánico - así como, se ilustra en la fig. 3. La Distribución del aparejo es la siguiente:

C -	2.30	A. .B.
2.30	2022.8	210 tijeras de tubería de producción de $2\frac{7}{8}$ " - N80, 6.5 lb/pie, rosca re- onda #1 X 1/2".
2022.80	2023.4	Comisa Otis X 0 $2\frac{7}{8}$ " (abierta)
2023.4	2033.6	1 tramo de tubería de $2\frac{7}{8}$ " - N80 -- 6.5 lb/pie EME
2033.6	2033.6	Cople localizador
	2033.8	Cima del empacador Backer 415.01 $7\frac{5}{8}$ "
2033.8	2036.4	Ancla, sellos, M.V. y tub. de produc- ción. (...: Multi V).

Las conexiones superficiales empleadas son:

- Cabezal de tuberías.

$16"$  S - 900

$16" \times 10\frac{3}{4}"$  S - 900 - 1500

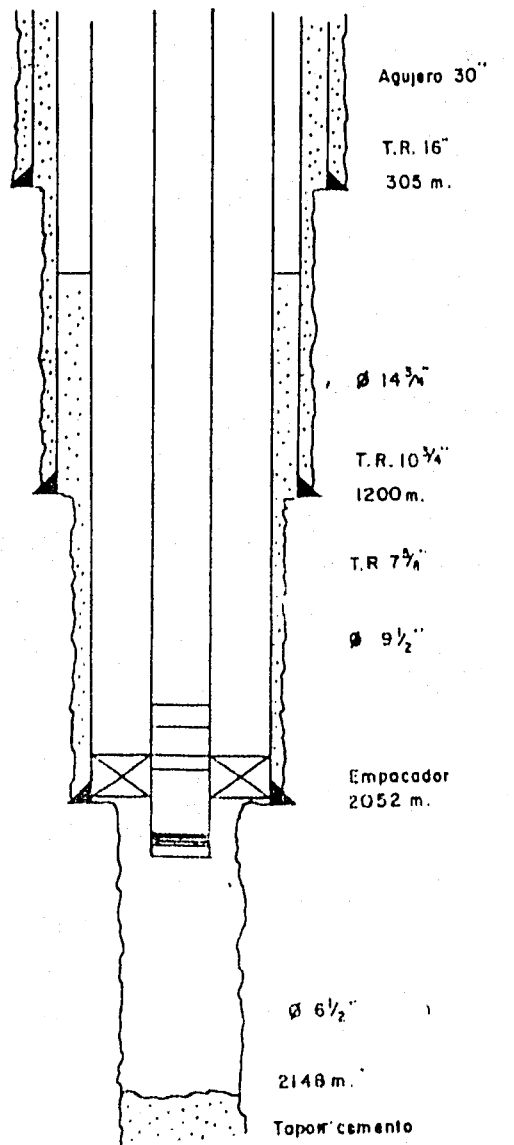
$10\frac{1}{4"} \times 7\frac{5}{8}"$  S - 1500

- Árbol de válvulas.

$16" \times 10\frac{3}{4"} \times 7\frac{5}{8"} \times 2\frac{7}{8}"$  S - 1500

Todo este equipo es de marca CAMERON.

(+) Ver anéndice de Aparejo de producción y conexiones superficiales.



ESTADO MECANICO DEL POZO

Fig. N° 8

## C A P I T U L O   I V

## OPERACIONES DE MANTENIMIENTO Y TERMINACION.

### 4.1 Avance de la perforación.

Una medida para controlar el avance de la perforación es el registro de profundidad vs. tiempo, a continuación se muestra una tabla que resume este registro y su gráfica correspondiente; fig. 9.

<u>Tiempo</u>	<u>Profundidad</u>	<u>Observaciones</u>
15 de Sept.		Se inició la perforación con bns.
(1931)		Se perforó hasta la profundidad de 305 m.
5 de Oct.	305 m.	Se amplió el diámetro con barrenos de 20" de 0 a 305 m.
10 de Oct.		Se realizó cemento la tubería de 16" (ínciso 3.5, 4.2), se colocaron las conexiones superficiales.
25 de Oct.		Se corrieron fallas en el cebanal.
27 de Oct.		Se perforó con barrenos de 14 <sup>3</sup> /4" de 305 m. hasta 1200 m.
7 y 9 de Dic.		Se cortó el Núcleo I, (i., 4.4)
10. de Enero	1200 m.	Se tomaron registros (i., 4.4)
3 de Enero		Se introduce y cementa la tubería de 10 <sup>3</sup> /4" (i., 3.5, 4.2); se colocan conexiones superficiales.
17 de Enero		Se perforó de 1200 a 2052 m. con barrenos de 9 <sup>1</sup> /2".
10. de Marzo	2052 m.	Se tomaron registros (i., 4.4)
3 de Marzo		Se introduce y cementa la tubería de 7 <sup>5</sup> /8" (i., 3.5, 4.2), se colocaron conexiones superficiales.
17 de marzo		Se perforó con bns. 9 <sup>1</sup> /2" de 2052 a 2605 m.

10 de Abril 2605 m. Se cortó el Núcleo II (i., 4.4)  
22 de Abril Se cortó el Núcleo III (i., 4.4)  
23 de Abril 2605 m. Profundidad total del pozo.

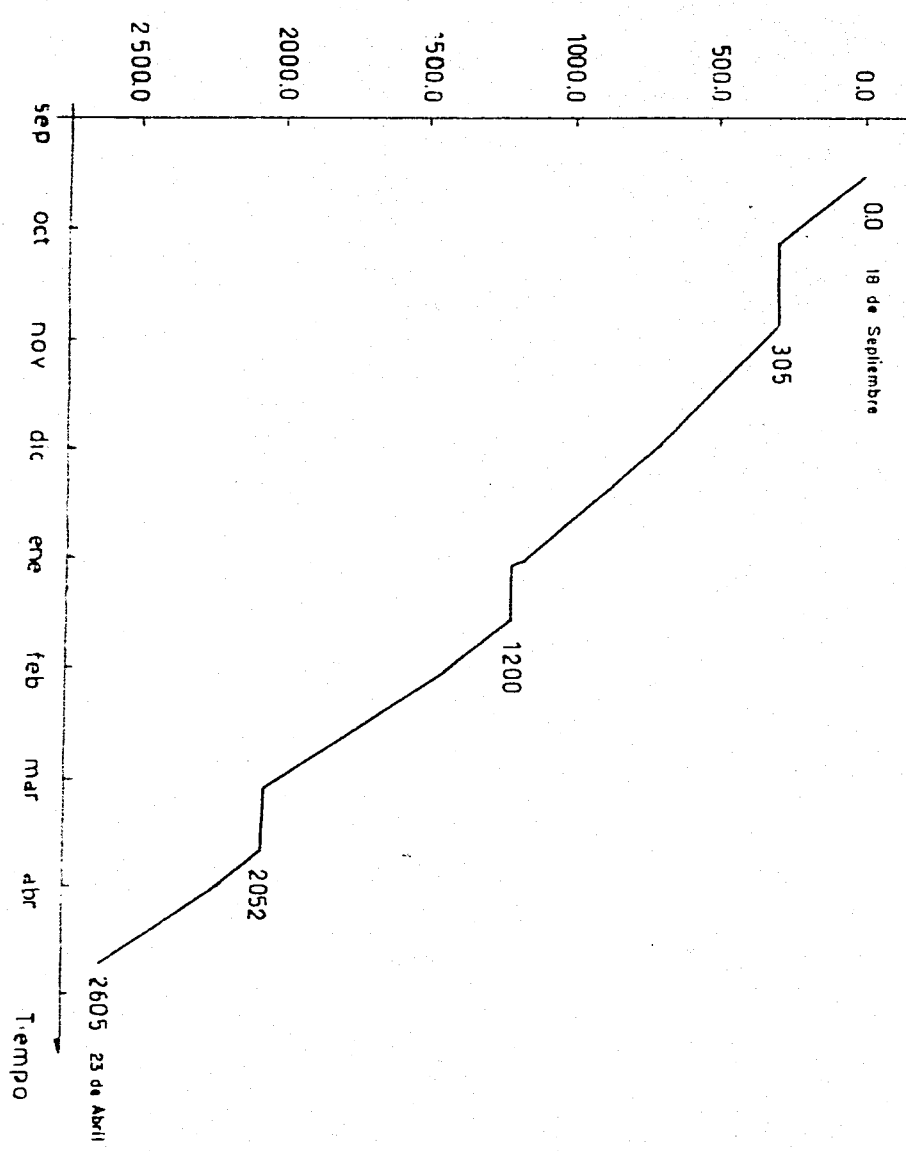


FIG. N° 9

#### 4.2 Cementaciones.(+)

A continuación se resumen las tres cementaciones de las tuberías:

305 m. Se cementó la tubería de 16" con 900 sacos de cemento sin aditivos, el cemento salió a la superficie. Se verificó la llegada del tapón de desplazamiento con 70 Kg/cm<sup>2</sup>. Se desplazó la lechada con flujo laminar. Para probar la cementación se perforó hasta un metro abajo de la zapata.

Presión de prueba.

Cabezal y conexiones superficiales 210  
Kg/cm<sup>2</sup>.

Cementación 56 Kg/cm<sup>2</sup>.

1200 m. Se efectuó la cementación de la tubería de 10<sup>3/4</sup>" - en dos etapas, con el cople de cementación múltiple a 749.5. La primera etapa se efectuó con 500 sacos de cemento tipo II con 0.5% de disminuidor de pérdidas por fricción (CFR-2) y 2% de acelerador de fraguado (KCL), se verificó la llegada del tapón de desplazamiento con 105 Kg/cm<sup>2</sup>; se abrió el cople de cementación múltiple; la segunda etapa se efectuó - con 600 sacos de cemento tixotrópico Thix-Set y 500 sacos de cemento tipo II con 2% de acelerador de fraguado (KCL), se verificó la llegada del tapón de desplazamiento y cierre del cople de cementación - múltiple "DV" con 105 Kg/cm<sup>2</sup>, el cemento salió hasta la superficie. En ambas etapas se desplazó la lechada con flujo turbulento. Para realizar la prueba de cementación se perforó hasta un metro abajo - de la zapata.

Presiones de prueba.

Cabezal y conexiones superficiales -  
105 Kg/cm<sup>2</sup>

Cimentación  $105 \text{ Kg/cm}^2$

2052 m. Se cementó la tubería de  $7\frac{5}{8}$ " con 450 sacos de cemento tipo H con  $2\frac{3}{4}$  de acelerador de fraguado (KCL). El nivel teórico del cemento en el espacio anular es de 515.17 m. Se desplazó la lechada con flujo turbulento; para realizar la prueba de cimentación se perforó hasta un metro abajo de la zapatilla.

Presiones de prueba:

Cabezal y conexiones superficiales -  
 $350 \text{ Kg/cm}^2$

Cimentación  $140 \text{ Kg/cm}^2$

(+) Para mayor información sobre cementos, aditivos y cimentación múltiple ver el anexo.

#### 4.3 Registros geofísicos, muestras de canal y núcleos (+).

##### Registros geofísicos.

A continuación se enumeran los registros geofísicos que se tomaron a diferentes intervalos:

<u>Intervalo</u>	<u>Registro</u>
295 - 1200 m.	Sónico de porosidad. Densidad compensado. Doble lateral.
1200 - 2052 m.	Neutrón compensado. Densidad compensado. Sónico de porosidad. Microlateral y microcalibrador. Medición de echados y temperatura.
2052 - 2605 m.	Densidad compensado. Neutrón compensado. Doble lateral.

##### Muestras de canal.

0 - 2605 m. Se tomó el registro de hidrocarburos.

##### Núcleos.

Se tomaron tres núcleos para descripción litológica;

Núcleo I Se metió corona Christensen  $8\frac{7}{16}$ " con barril muestrero.

Descripción del núcleo.

Intervalo 855 - 860

Recuperación 2.5 m. (50%)

Litología Mudstone arcilloso con microfauna - y escasas fracturas.

Núcleo II Se metió corona Christensen de  $5\frac{7}{16}$

Descripción del núcleo.

Intervalo 2353 - 2358

Recuperación 5.0 (100%)

Litología Arenisca color gris de grano fino a medio y conglomerado.

Núcleo III Se metió barril muestrero de  $6\frac{1}{4}$ " y corona -- Christense de  $6\frac{5}{16}$ "

Intérvalo 2596.0 - 2605

Recuperación 1.0 (20%)

Litología Roca ígnea con abundantes trazos de cuarzo.

(+) Ver apéndice de Registros geofísicos.

#### 4.4 Registro de desviaciones.

A continuación se muestra una tabla del registro de desviaciones a diferentes profundidades; la desviación máxima programada, 30°.

<u>Profundidad</u>	<u>Desviación</u>
600	0° 30'
900	0° 30'
1000	0° 30'
1100	2° 30'
1200	0° 30'
1645	0° 00'
1790	1° 00'
1895	0° 30'
2065	1° 30'
2160	1° 45'
2193	2° 15'
2207	2° 00'
2246	1° 00'
2395	1° 30'

#### 4.5 Profundidad interna del pozo.

La profundidad total del pozo fue de 2605 m., como algunas de las formaciones resultaron invadidas de agua se tuvieron que abandonar, para ello se colocó un tapón por circulación. A continuación se resumen las operaciones para colocar dicho tapón.

Se metió tubería de perforación francesa a 2250 m., se acondicionó el lodo con una densidad de 1.35; se levantó la tubería a 2206.0 m. y se colocó el tapón por circulación con 75 sacos de cemento tipo H, con 0.15; $\frac{1}{2}$  de reductor de viscosidad (HR-8) y 2 $\frac{1}{2}$  de acelerador de fraguado (KCL); se levantó la tubería a 1961 m., se acondicionó el lodo y se sacó la tubería, se esperó 10 horas para el fraguado, se metió barrena de 6 $\frac{1}{2}$ " a 2148.0 m. que es la cima del tapón. Se probó el tapón con 5 toneladas de peso.

Profundidad interna del pozo: 2148.0 m.

#### 4.6 Problemas y Operaciones especiales.

<u>Profundidad</u>	<u>Problema u Operación.</u>
--------------------	------------------------------

884 m. Se presentó una pequeña gasificación - bajando la densidad de 1.47 a 1.42, ésta se debió a la presencia de pequeñas fracturas.

2064 m. Se pierde el cono de una barrena de  $6\frac{1}{2}$ ", se recuperó éste en los etapas:  
- Se metió molino de  $6\frac{1}{8}$ " y canasta colectora de  $5\frac{5}{8}$ ", se recuperó 0.5 kg., de fragmentos metálicos.  
- Se metió barrena de  $6\frac{1}{8}$ " y canasta colectora de  $5\frac{5}{8}$ ", se sacó 0.5 kg., de fragmentos metálicos.

2139 m. Se observó vértila de 11 m.<sup>3</sup> del lodo, - debido a una fractura natural en el intervalo 2139 a 2142. La densidad bajó de 1.35 a 1.15 gr/cm.<sup>3</sup> Despues de acondicionar el lodo se levanta la tubería de 1300 m. a - Se continua la perforación.

2052 m. Pruebas de producción.

- Intervalo de prueba 2052 - 2148 m.

Empacador Backer 2026.5 m.

Orificio superior 1/4"

Orificio inferior 2"

Tiempo abierto 12 horas

Presión en la superficie 169 Kg.

Presión en el pozo cerrado 225 Kg.

Al instalar el árbol de válvulas se probó ron las conexiones superficiales con 350 Kg/cm.<sup>2</sup>, con resultados negativos, debido a una falla en el cabezal de la tubería - de producción.

- Intervalo de prueba 2052 - 2148.0

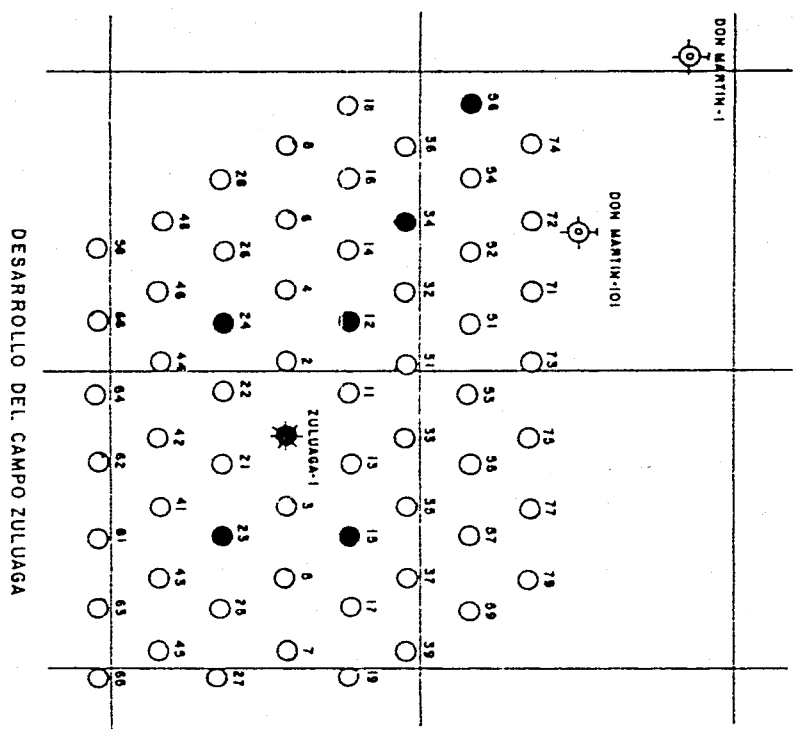
Fluye gas limpio por orificio 1/4"

Presión de flujo 175 Kg/cm.<sup>2</sup>

Presión cerrado 225 Kg/cm.<sup>2</sup>

#### 4.7 Desarrollo del Campo.

Después de tener los primeros datos de producción del pozo 106 000  $\frac{\text{m}^3}{\text{día}}$ . Se propuso la red de pozos para el desarrollo del campo Zuloaga, esta red se muestra en la fig. 10.



Pozo leporado por  
Invención agua salada  
 Localización aprobada

FIG. Nº 10

**A N E X O 3**

## Fluidos de perforación.

Las funciones principales de los fluidos de perforación y las propiedades de las cuales dependen estas funciones son:

- Levantar cortes y llevarlos a la superficie (Densidad, Punto Cendente, Gelatinosidad y Viscocidad).
- Control de las presiones subsuperficiales (Densidad).
- Mantener en suspensión los cortes y material denso --- cuando se interrumpe la circulación (Punto cedente, -- Gelatinosidad y Viscocidad).
- Protección de las paredes con una capa semipermeable - (Enjarre y filtrado).
- Disminuir el peso de la sarta por el efecto de flotación (Densidad).
- Enfriamiento y lubricación de la barrena y a la sarta.

### Características de los fluidos cromolignosulfonados.

Los fluidos con cromolignitos son los fluidos a base de agua, más completos; tienen gran capacidad para resistir condiciones adversas, como son altas temperaturas, contaminaciones, trabajan en un amplio rango de P.H.

### Materiales utilizados.

La función principal de los materiales utilizados.

Barita: Proporciona peso al fluido.

Bentonita: Imparte las propiedades de Gel y Viscocidad.

Carbonato de Sodio: Precipita al ion calcio.

Cromolignitos y lignosulfonatos: Dispersantes de sales orgánicas.

Sosa Caustica: Para aumentar el P.H.

Diesel: Para crear un fluido emulsificado.

### Costos:

Barita. - - - - - 2 100.00 \$/ton.

Bentonita. - - - - - 975.00 "

Carbonato de Sodio. - - - 4 718.00 "

Cromolignito.- - - - - 10 200.00 \$/ton.

Bigneosulfonato.- - - - - 16 500.00 "

Sosa Caustica.- - - - - 156 364.00 "

Diesel.- - - - - 665.00 \$/lit.

## Barrenas.

El control del rendimiento máximo de las barrenas es muy importante ya que está intimamente ligado con el costo de la perforación. Es el Ingeniero quien tiene que analizar los parámetros para escoger el tipo óptimo de barrena; entre estos parámetros están el tipo de formación, profundidad y los componentes mecánicos de las barrenas.

Para determinar el tipo de cada barrena, se utiliza el código standard de barrenas convencionales y de insertos; es un sistema de 3 dígitos que nos indica las características esenciales de una barrena.

El primer dígito indica el tipo de formación correspondiendo 1 (suave), 2 (medianas), 3 (dura), 4 (muy dura), para barrenas convencionales y 5 (suave), 6 (medianas), 7 (medio dura), 8 (dura), 9 (muy dura), para barrenas de insertos.

El siguiente dígito corresponde a una subclasificación dependiendo de las características de cada tipo de formación siendo: 1 (muy suave), 2 (suave), 3 (medianas) 4 (dura).

El tercero y último dígito está en función de las características mecánicas de la barrena, correspondiendo:

- 1) Balerros no sellados sin protección en la hilera de calibre libre.
- 2) Hilera de calibre dientes en forma de T.
- 3) Balerros no sellados con protección en la hilera de calibre libre.
- 4) Balerros sellados sin protección en la hilera de calibre
- 5) Balerros sellados con protección en la hilera de calibre
- 6) Barrenas de fricción con protección en la hilera de calibre y sellos.
- 7) Sistema fricción con un material que disminuye la fricción y protección en la hilera de calibre.

La profundidad también interviene en la selección de la -

barrana ya que al aumentar la profundidad, aumenta el tiempo de viaje siendo lo más conveniente mantener perforando mayor tiempo a la barrena aunque se incremente el costo de ésta; - es por esta razón que las barrenas de insertos de carburo de tungsteno son preferentes al ir aumentando la profundidad.

En la perforación del pozo Zuloaga, se utilizaron 34 -- barrenas de las cuales 12 eran de lientes fresados, 19 de -- insertos de carbono de tungsteno y 3 de diamantes; el costo de las barrenas está en función del tipo y diámetro. A continuación se presenta una tabla con el precio de los diferentes tipos utilizados.

Diámetro	Tipos	Precio/barrena
14 $\frac{3}{4}$ "	111, 151	\$ 58 488.00
20"	111, 131, 211	147 533.00
14 $\frac{3}{4}$ "	527	344 925.00
9 $\frac{1}{2}$ "	111	25 728.00
	527	127 303.00
6 $\frac{1}{2}$ "	221	17 220.00
	527,537,617	31 310.00

El parámetro más importante para evaluar la eficiencia de una barrena es el costo por metro, este lo podemos obtener con la ecuación:

$$C = \frac{B + (T + t) R}{H}$$

Donde: C = Costo por metro.

B = Costo de la barrena.

T = Tiempo perforando.

t = Tiempo de viaje.

R = Costo por hora del equipo por metro.

H = Longitud perforada con la barrena.

### Descripción de la Sarta de Perforación.

La sarta de perforación es el conjunto de tuberías que se utilizan para comunicar el movimiento mecánico y el peso necesario a la barrena; sus principales componentes son: -- la tubería de perforación y la herramienta (conjunto formado por lastrabarrenas y estabilizadores).

La función principal de la tubería de perforación es la de comunicar el movimiento a la sarta. Los parámetros más -- importantes para el diseño de una columna de tubería son:

- Grado del acero.
- Clase
- Peso
- Diámetros
- Dimensiones de las juntas.

La clase de una tubería se refiere al desgaste de la -- tubería y se identifica por bandas de diferentes colores. -- También se debe tomar en cuenta la resistencia de la tubería a diferentes esfuerzos que son:

- Torsión: Carga a la resistencia a punto cedente.
- Tensión: Carga a la resistencia mínima a punto cedente
- Colapso: Resistencia a la presión externa mínima.
- Presión interna: Resistencia a la presión interna a -- punto cedente.

La selección de los lastrabarrenas está en función del - diámetro del agujero y del peso aplicado a la barrena, están diseñados para trabajar a la compresión. Los parámetros más - importantes para seleccionar tipo y cantidad de lastrabarre--nes son:

- Peso de los lastrabarrenas.
- Longitud
- Peso requerido por la barrena.

Los estabilizadores son una herramienta auxiliar que nos ayuda a conservar la verticalidad del agujero.

Algunas de las características de las tuberías usadas:

Características	Tubería S-95, 4 <sup>1</sup> / <sub>2</sub> "	Tubería X-95, 3 <sup>1</sup> / <sub>2</sub> "
- Diámetro exterior del piñón y caja	6 <sup>3</sup> / <sub>8</sub> "	5"
- Diámetro interior	3 <sup>3</sup> / <sub>4</sub> "	2 <sup>9</sup> / <sub>16</sub> "
- Longitud del piñón	11 <sup>1</sup> / <sub>2</sub> "	11"
- Longitud combinada de piñón y caja	17"	16 <sup>1</sup> / <sub>2</sub> "
- Par de torsión en el diámetro exterior para la junta	14300 pie/lb.	8600 pie/lb.

Resistencias de la tubería a los diferentes esfuerzos:

- Torsión	39 020 pie/lb.	23 500 pie/lb.
- Tensión	418 700 lbs.	3 43 990 lbs.
- Colapso	12 750 lb/in. <sup>2</sup>	17 880 lb/in. <sup>2</sup>
- Presión interna	12 450 "	17 480 "

Las condiciones del tubo más importantes correspondientes a la Clase de Primera, se muestra enseguida.

#### Condiciones exteriores:

- Desgaste del Diámetro exterior (D.E.)	La pared remanente no menor que el 80% debido al desgaste uniforme.
- Golpes y Magulladuras:	No más del 3% del D.E.
- Esfuerzos inducidos variación del diámetro.	No más del 3% del D.E.
- Costos, Pezaduras y Corrosión.	La pared remanente no menor que el 80%.

**Condiciones interiores.**

- Ficaduras por corrosión
- Erosión y Desgaste.
- Rotura por fatiga

La pared remanente no menor que el 30%.

Ninguna.

Se identifica por dos bandas blancas.

### Tuberías de Revestimiento.

La función principal de la tubería de revestimiento es de acuerdo al tipo de tubería. Los tipos utilizados fueron los siguientes:

<u>Tubería</u>	<u>Funciones</u>
Conductora.-	Confinar la circulación del fluido de perforación. Ayuda a contener formaciones no consolidadas. Previene pérdidas de circulación.
Superficial.-	En ella se colocará el equipo preventor. Prevenir la contaminación de acuíferos.
	Servirá de asiento a las demás tuberías. Protege zonas poco profundas y previene pérdidas de circulación.
Intermedia.-	Ayuda a prevenir el suaveo y el engrosamiento del agujero en pozos profundos.
	Ayuda a prevenir pérdidas de circulación.
	Ayuda a confinar presiones anormales, así como formaciones problema.
Explotación.-	Protege la formación productora.
	Previne la migración de fluidos.

#### Parámetros de identificación.

Las características básicas para la identificación y selección de las tuberías de ademe son:

Diámetros: exterior e interior.

Grado: propiedades del acero con que está fabricando el tubo.

Rango: Longitud del tubo.

Peso: Peso por unidad de longitud.

## Diseño de Tuberías.

El diseño de la tubería de revestimiento consiste en seleccionar un conjunto de tuberías que cumpla las siguientes condiciones.

- resista a todos los esfuerzos.
- sea lo más económica posible.

Los principales esfuerzos a que se somete una tubería de revestimiento son:

- a) Tensión: Esta fuerza es producto del peso del conjunto de tubos; el máximo valor de esta se encuentra en la parte superior de la columna. El factor de seguridad a la tensión tiene un valor de - 1.5 a 1.8.
- b) Colapso: Esta presión es producto del peso de columna de fluido en el exterior de la tubería, el valor máximo de esta presión externa se encuentra en el fondo de la columna. El factor al colapso utilizado en el diseño, varía de 1.0 a - 1.25.
- c) Presión Interna: Se refiere a la presión que se ejerce - en la pared interna de la tubería principalmente cuando ésta se somete al descontrol de un pozo, tratamientos de estimulación o durante la inyección de -- fluidos para la recuperación secundaria. El factor de diseño varía de 1.1 a 1.33.

Existen varios métodos para diseñar tuberías de revestimiento, a continuación se muestra el diseño gráfico de la tubería de  $7\frac{5}{8}$ ", se presenta el resultado del diseño gráfico de la tubería de  $10\frac{3}{4}$ "

Diseño de la tubería de  $7\frac{1}{8}$ " (fig. 11)

Densidad = 1.47 gr./cc.

Profundidad = 2052 m.

Resultados del diseño gráfico:

De	0 - 1300 m.	C 75 - 26.4	C.L.
	1300 - 1400	N 80 - 26.4	C.L.
	1400 - 1950	C 75 - 29.7	C.L.
	1950 - 2052	N 80 - 29.7	C.L.

Revisión al colapso.

- Para la tubería N 80 - 29.7

Presión de Fondo:  $4851 \text{ lb/pulg}^2$

Resistencia de la tubería  $4790 \text{ lb/pulg}^2$

$$F.c. = 0.98 < 1.125$$

Se cambia la tubería por una N 80 - 33.7

Resistencia de la tubería  $6560 \text{ lb/pulg}^2$

$$F.c. = 1.3522 > 1.125$$

- Para C 75 - 29.7

Presión a 1950 m.  $4557 \text{ lb/pulg}^2$

Resistencia de la tubería  $4670 \text{ lb/pulg}^2$

$$F.c. = 1.025 < 1.125$$

Se cambia por una tubería N 80 - 33.7

Resistencia de la tubería  $6560 \text{ lb/pulg}^2$

$$F.c. = 1.4395$$

- Para N 80 - 26.4

Presión a 1400 m.  $3307 \text{ lb/pulg}^2$

Resistencia de la tubería  $3400 \text{ lb/pulg}^2$

$$F.c. = 1.027 < 1.125$$

Cambiamos a una tubería N 80 - 29.7

$$F.c. = 1.41 > 1.125$$

- Para C 75 - 26.4

Presión a 1300 m.  $3027 \text{ lb/pulg}^2$

Resistencia de la tubería  $3200 \text{ lb/pulg}^2$

$$F.c. = 1.062 < 1.125$$

- Cambiamos a C 75 - 29.7

Resistencia de la tubería  $\sim 3500$

SUPERINTENDENCIA GENERAL DE INGENIERIA PETROLERA

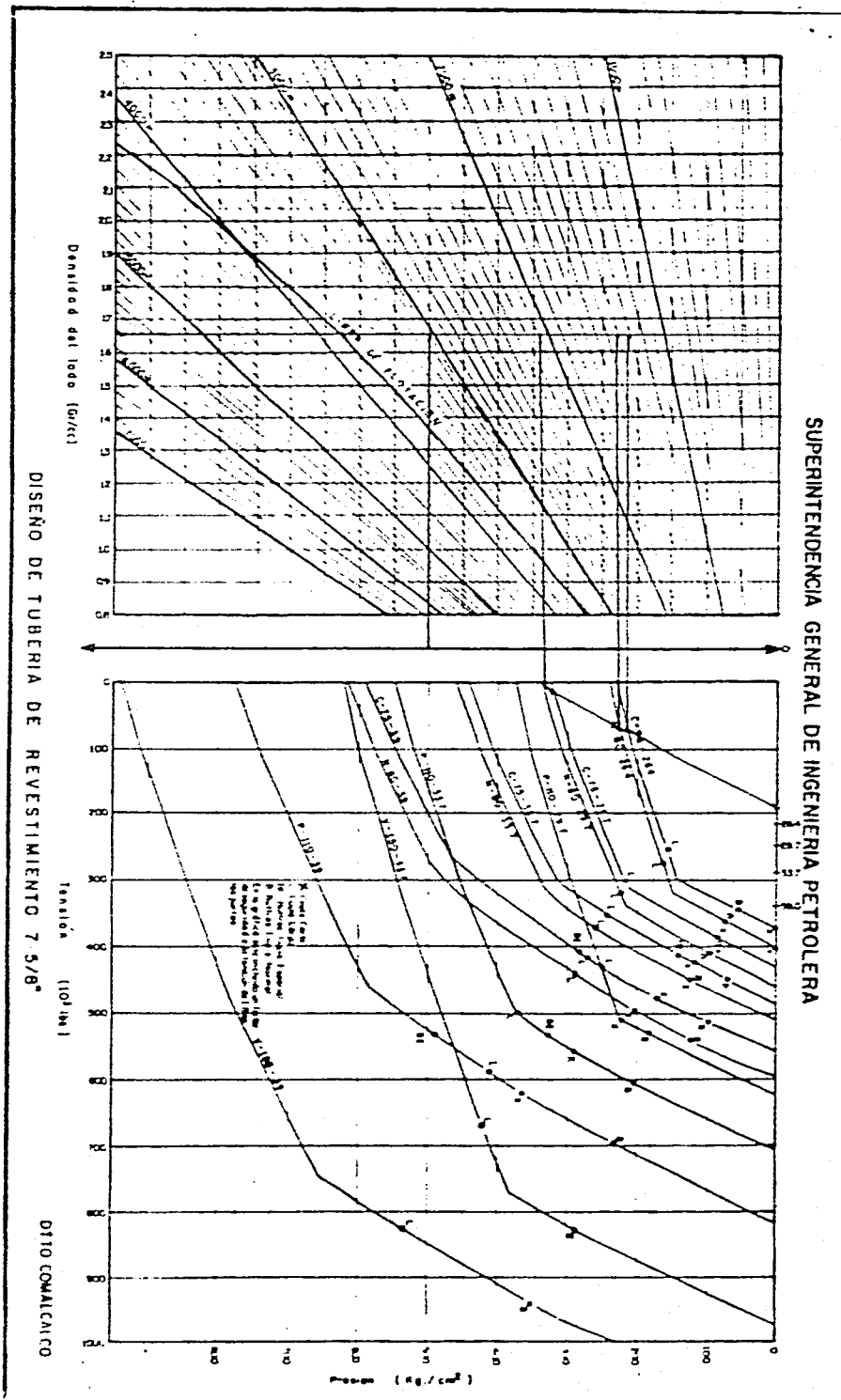


FIG. 11

$$F.c. = 1.51 > 1.125$$

Revisión a la tensión.

- Para C 75 - 26.4

Tensión en la superficie:  $190 \times 10^3$  lbs.

Resistencia del C.L.  $542 \times 10^3$

Resistencia de la tubería:  $641 \times 10^3$

$$F.t. = 2.85 > 1.8$$

El diseño teórico resultante es:

De 0 - 1300 C 75 29.7 C.L.

1300 - 1400 N 80 29.7

1400 - 1950 N 80 33.7

1950 - 2052 N 80 33.7

Diseño teórico de la tubería de  $10^{3/4}$

De 0.0 350 m. J 55 - 55 Cople Corto (C.C.)

350.0 1150 N 80 - 51 C.C.

1150.0 1200 C 95 - 51 C.C.

Se introduce tubería J 55 - 55 en toda la longitud, con bajos factores de seguridad.

Conjuntamente con la tubería se introduce una serie de equipo, cuya función se resume enseguida:

Zapata guía.- (marca Backer, fig. 12), su función principal es guiar a la tubería dentro del pozo.

Cople de retención.- (marca Backer, fig. 12), detiene a los tapones de cementación.

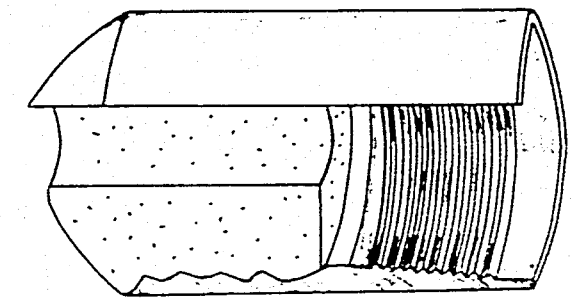
Zapata flotadora.- (marca Backer, fig. 13), guía la tubería dentro del pozo y previene el contraflujo de cemento.

Cople flotador.- (marca Backer, fig. 13), previene el contraflujo de cemento y detiene los tapones de cementación.

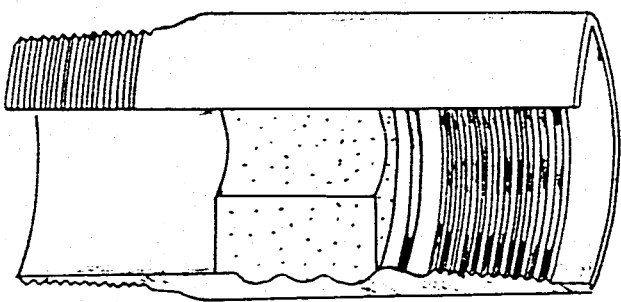
Cople de cementación múltiple.- (marca Halliburton, fig. 14), para realizar cementaciones de dos o más etapas.

Centradores.- (marca Fabrimex), centra la tubería dentro del pozo para mejor distribución del cemento y disminuir las pendientes.

Collarines.- (marca Fabrimex), impide el desplazamiento vertical de raspadores y centradores.



Zapato guiso Bockel

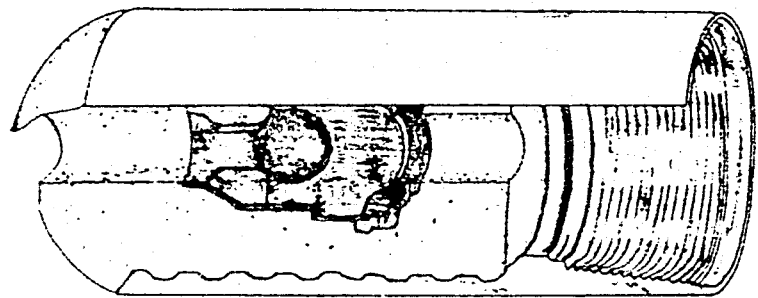


Corte de retención Bockel

FIG. 12

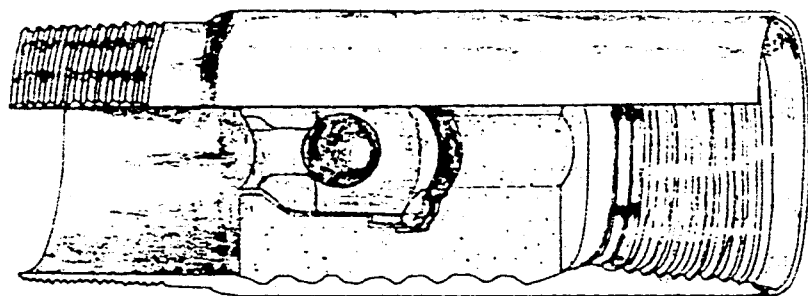
Zapato Flotadora Becker

FIG. 13



Cópia Diferencial Becker

54



### Cimentaciones.

La cimentación.- Es el proceso de mezclar y desplazar una lechada de cemento para ser colocado en el espacio anular de la tubería de revestimiento y el agujero. Las funciones principales de la cimentación primaria son:

- Restringir el movimiento de fluidos entre las formaciones.
- Dar soporte a las tuberías de revestimiento.

Las características principales de los cementos utilizados:

Cemento tipo E; se utiliza generalmente como cemento básico para profundidades de 0 a 8000 ft. (2439 m.); también puede utilizarse con aceleradores y retardadores en un amplio margen de profundidades y temperaturas.

Cemento Thick - Jet; es un cemento tixotrópico que se utiliza en cimentaciones primarias, pérdidas de circulación y cimentaciones formadas. Este cemento es modificado y es fabricado por la Halliburton.

Aditivos utilizados:

- Cloruro de potasio (KCl).- Es utilizado como substituto del cloruro de sodio con la ventaja de ser más efectivo a concentraciones menores que el NaCl. Los beneficios que se obtienen con este aditivo son:
  - Se comporta como acelerador del fraguado en bajas concentraciones y como retardador en altas.
  - La lechada se expande más que la de los cementos de agua dulce.
  - Incrementa la densidad de la lechada.
  - H.R. - 2:- Rotar e el tiempo de fraguado.
    - Reduce la viscosidad, mejorando las propiedades de flujo.
  - C.R.T. - 2:- Reduce las pérdidas por fricción.
    - Se puede utilizar como disolvente en cementos desificados.

Los cálculos resumidos de las cementaciones se presentan en el siguiente cuadro:

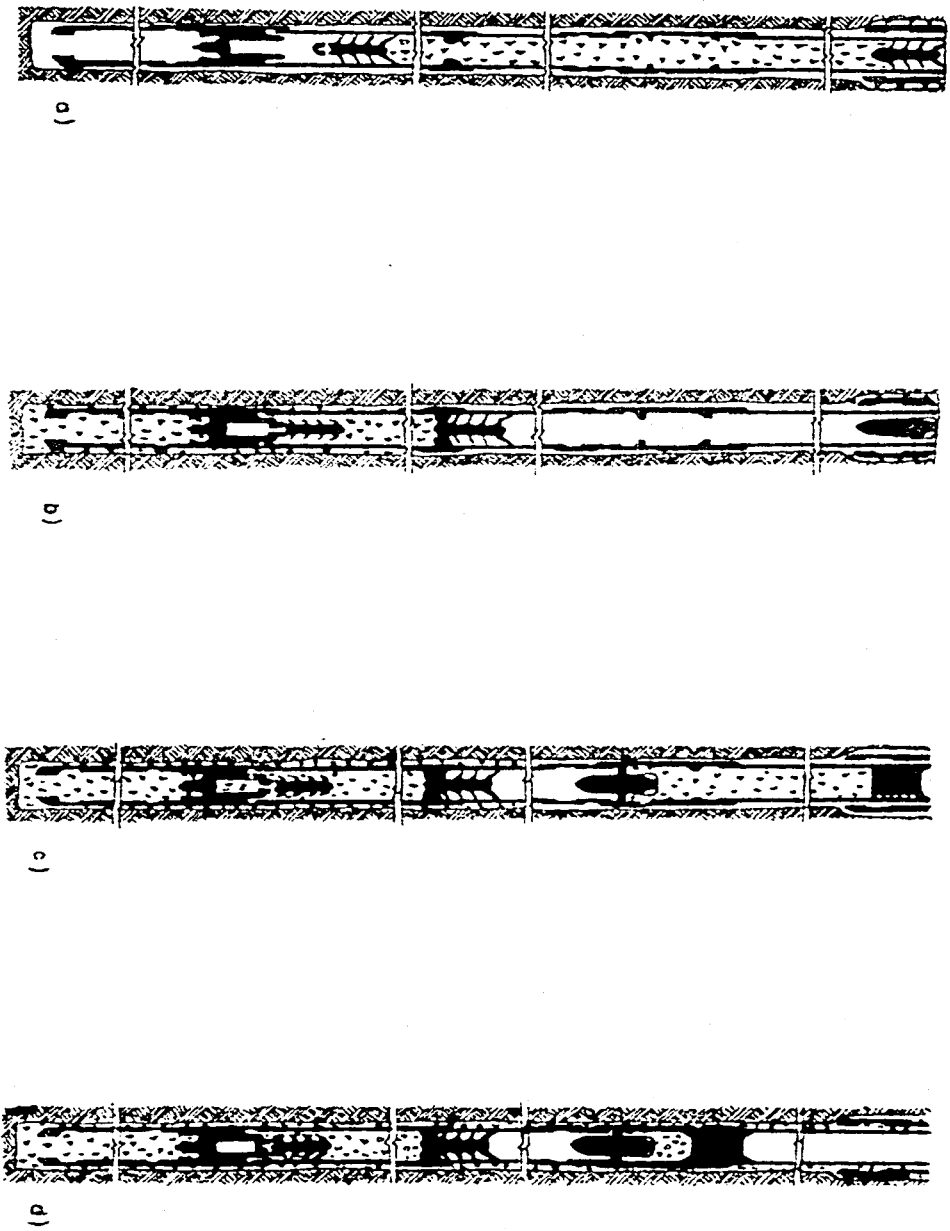
Tubería (pulg)	Densidad gr/cm. <sup>3</sup>	Rendimiento lt/saco	Sacos + 20% calculados	Sacos utiliza- dos	Profundidad de la cima de cemento
16"	1.3	96.7	305	500	Superficie
10 <sup>3</sup> /4"	1.47	61.72	473	500	749.5
			773	1100	Superficie
7 <sup>5</sup> /8"	1.47	61.72		450	515.7

#### Cementación en dos etapas.

La cementación de dos etapas es utilizada cuando se cementan tuberías a considerable profundidad y en toda su extensión; para llevarla a cabo se utiliza un cople de cementación múltiple. La metodología para llevar a cabo esta operación se ilustra en la fig. 14:

- a).- Se desplaza la lechada de la primer etapa, antes de esta un tapón de diafragma para separar lechada y lodo y después de la lechada un tapón de desplazamiento.
- b).- Se finaliza la primer etapa y se lanza una bala que abrirá el cople de cementación múltiple.
- c).- Se lleva a cabo la segunda etapa a través del cople de cementación múltiple, se utiliza un tapón de desplazamiento.
- d).- El tapón de desplazamiento llega al cople de cementación múltiple y lo cierra. Finaliza la operación.

F I G. 14 Cementación en dos etapas

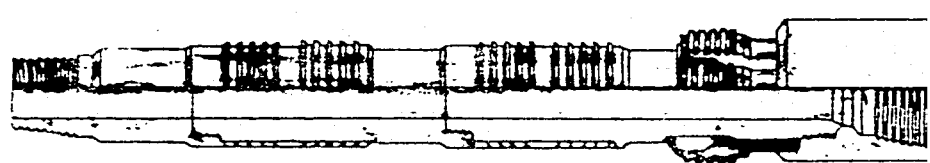


### Aparejo de producción y conexiones superficiales.

La instalación del aparejo de producción y de las conexiones superficiales finales son parte de la terminación del pozo, la finalidad de este equipo es la de poner en comunicación la formación productora con la superficie en forma controlada. La función de cada herramienta es:

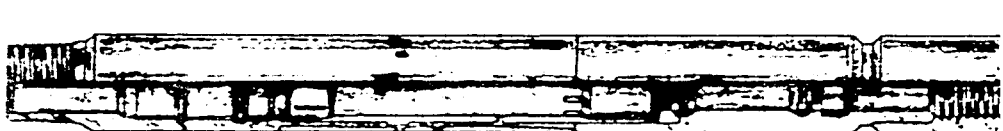
- Tubería de producción.- Es el medio de conducción - de los hidrocarburos, tiene los mismos parámetros - de identificación que la tubería de perforación. Se utilizaron coples EUE rosca redonda de 3 hilos, esta tiene las mismas características de los coples - cortos rosca redonda de las tuberías de revestimiento.
- Camisa deslizable o válvula de circulación (m. Otis, fig. 15) nos permite después de enclado el empacador, poder comunicar el interior de la tubería de producción con el espacio andar de la tubería de revestimiento.
- Empacador (marca Backer, fig. 16), produce un sellado entre la formación productora y el espacio anular - confinando el flujo por la tubería de producción -- aislando presiones y fluidos de la tubería de revestimiento. El empacador es de tipo mecánico y se ancla con la tubería de producción, aunque también -- puede utilizarse cable o tubería de perforación.
- Cople localizador (marca Backer, fig. 15), ayuda a determinar la cima del empacador.
- Ancla y sellos (marca Backer, fig. 15), sirven para contrarrestar las elongaciones y contracciones de - la tubería.

El conjunto de cabezales y el árbol de válvulas marca Cameron que se utilizaron se muestran en las figs. 17 y 18 respectivamente.



COPLE LOCALIZADOR  
ANCLA  
MANICA BACKER  
SELLOS

Fig 15



CAMISA DESENSIBILIZABLE OTIS  
TIPO X0

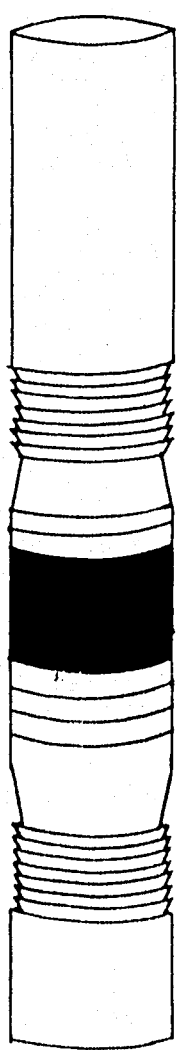


Fig. 16 Empacader Backer 415.01

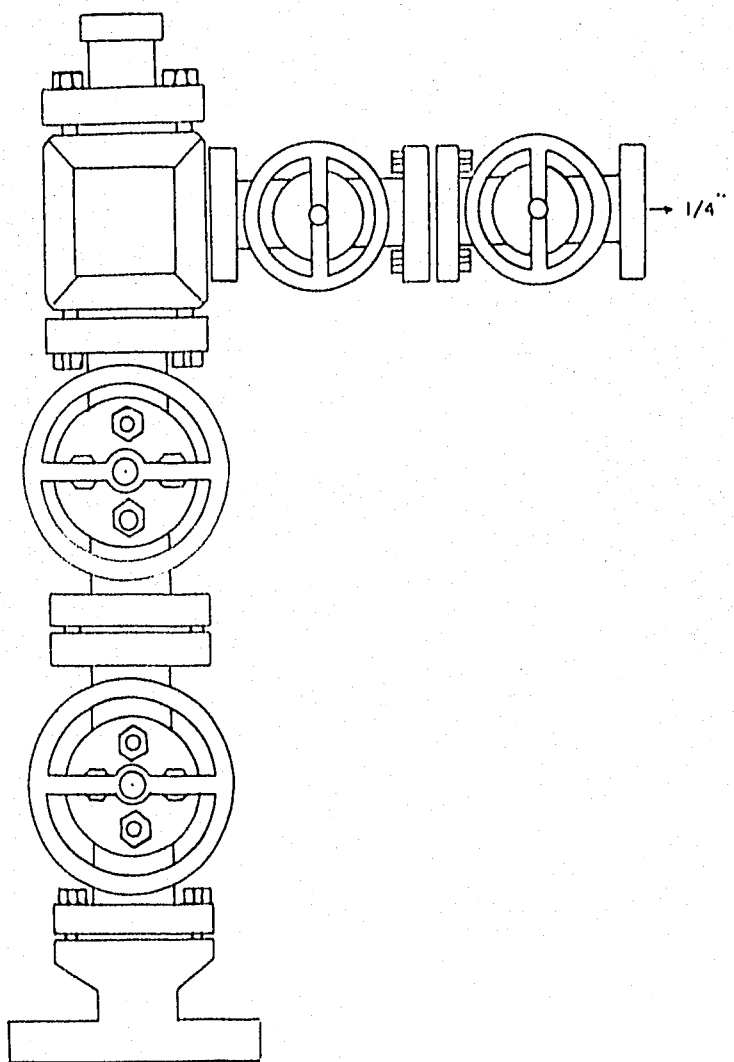


Fig. 17 Arbol de válvulas Cameron

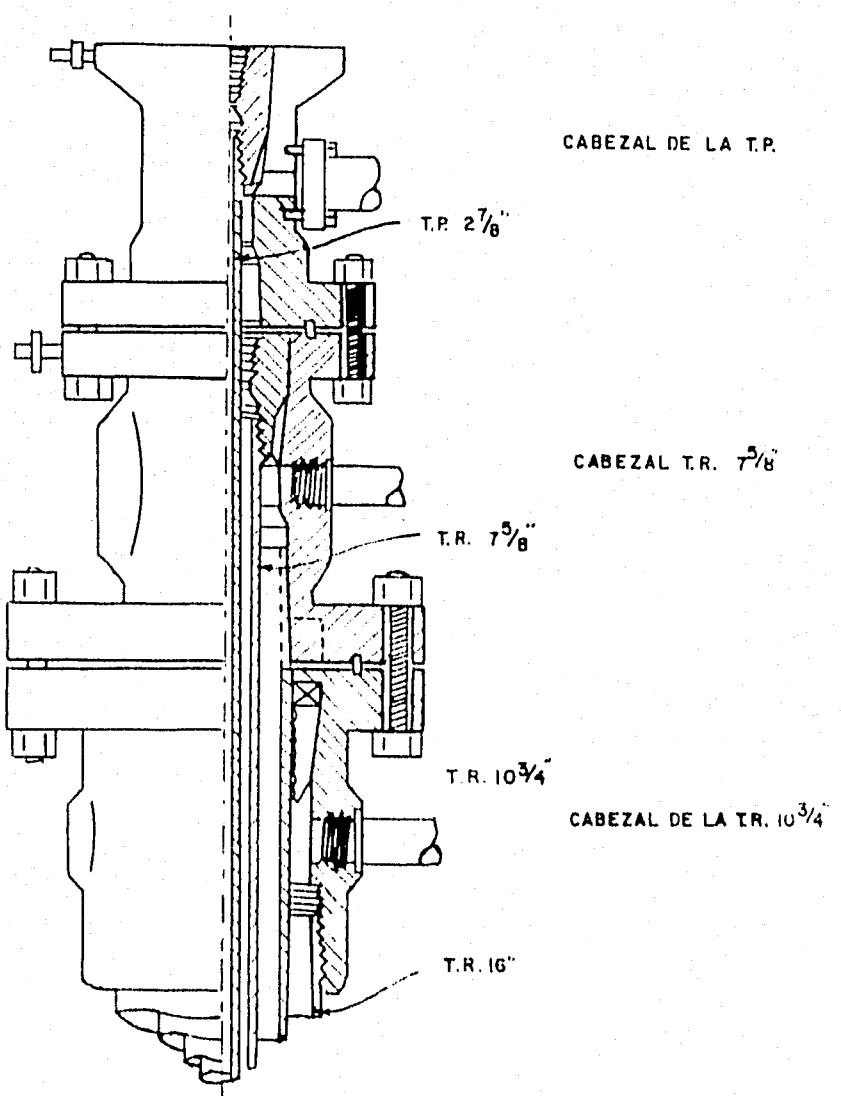


Fig. 18 CABEZAL DE TUBERIAS CAMERON

### Registros Geofísicos.

Los registros geofísicos son una herramienta muy generalizada para la determinación de parámetros muy importantes como son: porosidad, saturación de agua, litología, es peso del intervalo productor, etc... El principio básico de los registros utilizados, se resume a continuación:

#### - Registros Eléctricos (Doble Lateral y Microesférico)

Estos registros son más comúnmente usados para la identificación de hidrocarburos, los parámetros buscados son  $R_{x_0}$  y  $R_t$  (resistividad de la zona lavada y resistividad de la zona no invadida por el filtrado de lodo). Para reducir el efecto que provoca el pozo y las formaciones adyacentes, se utiliza el Doble Lateral. Para la determinación de  $R_{x_0}$  y delimitar las capas permeables mediante la detección del enjarre del lodo se utilizan los dispositivos microresistivos, como el Microcalibrador.

#### - Registro Sónico de Porosidad.

El perfil Sónico es un registro de profundidad contra At, el tiempo requerido una onda sonora para recorrer un níce de formación. Conocido como tiempo de tránsito At, es el recíproco de la velocidad de una onda sonora. El tiempo de tránsito en una formación dada depende de su litología y porosidad. La dependencia de porosidad, conocida la litología, hace que el perfil Sónico sirva como registro de porosidad.

#### - Registro Neutrón.

Los perfiles Neutrónicos son usados principalmente para ubicar formaciones porosas y determinar su porosidad. Ellos responden en primer lugar a la cantidad de hidrógeno presente en la formación, así en formaciones limpias cuyos poros están llenos de --

agua o hidrocarburos, el perfil Neutrónico nos da el valor real del espacio poroso lleno de fluido.

- Registro de Densidad.

El perfil de Densidad de la formación se utiliza principalmente como perfil de porosidad. La medición de la densidad de la formación tiene también aplicación en la identificación de minerales en depósitos de evaporitas, descubrimientos de gas, determinación de la densidad de hidrocarburos; evaluación de arenas arcillosas y litológicas complejas y en la determinación del rendimiento de lutitas petrolíferas.

- Registro de Medición e Echados.

La función principal de estos registros es determinar sobre la línea (pozo) los echados y los rumbos de los estratos atravesados, para utilizarlos como herramienta en la construcción de las secciones geológicas y en las correlaciones con los demás registros.

- Registro de Litología.

Los registros de litología son complementarios de otros y sirven para determinar cualitativamente la litología de las formaciones y las zonas permeables.

- Registro de Calibración.

El registro de calibración es un complemento de otros y se utiliza paraadir las variaciones en el diámetro del agujero; en forma indirecta se puede utilizar para determinar las zonas permeables y no permeables.

- Registro de Hidrocarburos.

El registro de hidrocarburos no es un registro profísico; este es una historia resumida de la formación, la información que resulta:

- Velocidad de perforación
- Gas en el lodo.
- Gas en los recortes.
- Descripción litológica.
- Características del lodo.

## C O N C L U S I O N

El desarrollo de las operaciones que envuelve la perforación de un pozo lleva consigo decisiones de planeación y - operación; es por ello que el ingeniero Petrolero elabora - programas basados en la experiencia y estadísticas de otros pozos y ajusta estos programas continuamente, según la condiciones operativas que se presenten durante la perforación.

Una vez terminado un pozo exploratorio, como es el caso, se manejan otros parámetros para determinar el desarrollo del campo, se calculan radios de drene para obtener el espaciamiento entre pozos, tomando en cuenta el gasto de producción, tiempo de explotación y máxima recuperación. El siguiente paso es proponer localizaciones y desarrollar el campo, perforando pozos y explotando los que resulten productores.

Para que el ingeniero Petrolero pueda resolver todos - estos problemas y tome una decisión, necesita tener conocimiento de la técnica y herramientas con que cuenta, así como el manejo y limitaciones de estas.

Es necesario mencionar que los problemas que se presentaron no fueron de radical importancia, pero, estos se pueden presentar al perforar en el mismo campo localizaciones - posteriores.